

#### Comune di Valtournenche Piazza della Chiesa n. 1

## LAVORI PER L'ADEGUAMENTO STRUTTURALE ANTISISMICO E LA MESSA A NORMA ANTINCENDIO DELLA SCUOLA MEDIA IN FRAZIONE CRETAZ DEL COMUNE DI VALTOURNENCHE





Via Sebastiano Caboto 18/A – 10129 Torino Tel: 0115684183 - Fax: 011-2274394

e-mail: <u>aliseas@aliseasrl.eu</u> PEC: <u>alisea@pec.aliseasrl.eu</u> Prof. Ing. Luca Giordano



Relazione tecnica

CONSIDERAZIONI SULLA FONDATEZZA DELLE RISERVE E SULLA

METODOLOGIA DI RINFORZO

CODICE ELABORATO 163\_R\_002\_A

REV	DATA	DESCRIZIONE	REDATTO	VERIFICATO	APPROVATO
Α	19-11-2018	Emissione	LGR	LGR	LGR

NOME DEL FILE: 163\_R\_002\_A.docx

#### **INDICE**

1.	PREMESSA	2
2.	RISERVE DEL 01/12/2017	3
3.	NOTA DI CALCOLO DEL PROGETTISTA	6
4.	NOTA DI CALCOLO DELL'IMPRESA	8
5.	CONSIDERAZIONI GENERALI SUL METODOLOGIA DI RINFORZO	9
6.	CONCLUSIONI	12

#### 1. PREMESSA

Il comune di Valtournenche, con Determina N. 206 del 08/10/2018, ha affidato alla società Alisea srl nella persona del sottoscritto Prof. Luca Giordano, il controllo dell'impostazione generale del progetto dei "Lavori per l'adeguamento strutturale antisismico e la messa a norma antincendio della scuola media in frazione Cretaz del comune di Valtournenche", nonché la valutazione della fondatezza delle criticità messe in luce dall'Impresa aggiudicataria dei lavori stessi.

Lo scrivente ha effettuato un sopralluogo in sito in data 17 ottobre 2018 alla presenza della Direzione Lavori (ing. Corrado Trasino) e dell'Impresa aggiudicataria dei lavori (rappresentata dall'ing. Carlo Cambieri), ed ha emesso una prima relazione in data 24 ottobre 2018 relativa a quanto emerso dal sopralluogo e dalla verifica dell'impostazione generale del progetto. In particolare, il sopralluogo ha messo in evidenza la presenza di situazioni anomale in corrispondenza di alcune colonne dell'edificio che sono state interessate da severi danneggiamenti (taglio delle armature longitudinali) presumibilmente a seguito di precedenti lavori di modifica dell'impianto di riscaldamento ed elettrico. Tali danneggiamenti, di carattere prevalentemente puntuale, non potevano essere ipotizzati nella fase di elaborazione del progetto di adeguamento e anche le indagini sulle strutture non potevano metterle in luce se non casualmente. L'analisi del progetto ha messo in luce una corretta impostazione generale dello stesso con la presenza di alcuni punti deboli: la mancata caratterizzazione del materiale delle barre da cemento armato (con la conseguente assunzione di un tipo di materiale che con ogni probabilità non corrisponde a quanto presente in sito), la mancata caratterizzazione del terreno di fondazione (con l'impossibilità di sviluppare la verifica geotecnica da un punto di vista numerico) e l'ipotesi di collegamento rigido fra vano ascensore (realizzato con l'ampliamento del 1998) e il corpo principale dell'edificio.

La presente relazione, a conclusione dell'incarico, ha per obiettivo la valutazione puntuale della fondatezza delle criticità evidenziate dall'Impresa.

163\_R\_002\_A.docx Pag. 2 di 12

#### 2. RISERVE DEL 01/12/2017

Le riserve iscritte nel Registro di Contabilità sono in numero di 5. Le problematiche di carattere strutturale, a cui è richiesto allo scrivente di esprimersi, sono riportate nella Riserva n. 1, e qui di seguito trascritte per completezza e semplicità di lettura:

Le indagini in corso sulla struttura esistente, per quanto ad oggi disponibili (e con salvezza di ulteriori integrazioni e approfondimenti), evidenziano che l'attuale condizione della struttura oggetto dell'intervento versa in condizioni tali da rendere inidoneo allo scopo il progetto di adeguamento sismico (che presuppone l'esistenza di una struttura esistente adeguata), oltre che rischiosa la sua realizzazione, sia per le maestranze dell'Impresa che per i dipendenti ed i fruitori del servizio ambulatoriale posto al piano terreno, e di cui si dirà in seguito. In particolare l'Impresa ha riscontrato che:

- a. La costruzione della scuola risale ad epoca nella quale non era in uso la tipologia di acciaio "Feb44K" che viene indicata nel calcolo di progetto. Tale circostanza, ove risultasse confermata da specifici ed indispensabili saggi, inficerebbe l'effetto finale del calcolo strutturale, che risulterebbe sovrastimato per quanto concerne la resistenza degli attuali elementi setti, pilastri e solai in cemento armato, compromettendo in radice la bontà dell'intervento. Sempre in relazione all'epoca di realizzazione della scuola risulta indispensabile indagare, con una campagna d'indagine mirata, l'effettiva esistenza della cappa strutturale armata collaborativa indicata nel progetto; essa infatti ha inciso nella redazione del calcolo strutturale, conducendo ad una possibile sovrastima della resistenza dell'edificio, qualora non risultasse confermata la propria esistenza.
- b. Il calcolo di progetto presuppone l'esistenza di staffe di diametro pari a 8 mm ( $\Phi = 8$ ) la cui effettiva esistenza, tuttavia, risulta contraddetta dalle stesse indagini strumentali contenute nella relazione tecnica di progetto, ove infatti si legge che viene rilevata la presenza di staffe di diametro pari a 6 mm ( $\Phi = 6$ ). Anche tale aspetto richiede un'indagine ulteriore volta a conseguire definitiva chiarezza sullo stato di fatto, trattandosi, ancora una volta, di elementi essenziali ai fini della garanzia strutturale dell'intervento e della relativa agibilità.
- c. Le indagini preliminari ad oggi svolte hanno evidenziato la presenza di importanti fenomeni di sfondellamento ai quali solo in alcune zone si è tentato di porre rimedio con la posa di reti antisfondellamento. La presenza soltanto parziale e localizzata di tali reti di protezione genera l'impossibilità di procedere in condizioni di sicurezza al pesante intervento demolitivo previsto tra le prime lavorazioni da effettuare.
- d. La trave di bordo lato ingresso principale del fabbricato non appare nello stato descritto in progetto (ossia una trave unica semplicemente appoggiata alle estremità) e ciò comporta l'inadeguatezza dell' ipotesi di calcolo, che dunque andrebbe riverificata.

163 R 002 A.docx Pag. 3 di 12

- e. Relativamente al vano ascensore, non esiste alcuna evidenza della connessione rigida con il fabbricato ipotizzata nel progetto. La circostanza andrà adeguatamente verificata in quanto, l'averlo considerato rigidamente connesso, come emerge dalla relazione di calcolo, potrebbe falsare, anche in modo importante tutti i risultati dell'analisi stessa.
- f. Constatata l'altezza utile da plinto a intradosso solaio al piano interrato, pari a circa 30-40 cm, non risulta praticabile l'inserimento, previsto da progetto, dei connettori per ancorare le piastre al plinto particolare A B CI C2.
- g. E' stata constatata la presenza di passaggi impiantistici al piano interrato non indicata nel progetto che, attraversando le strutture portanti, indeboliscono le stesse. Tale verifica è, allo stato, soltanto parziale, in quanto l'interferenza impiantistica andrà estesa a tutti i piani dell' edificio.

A seguito delle riserve di carattere strutturale, la DL ha chiesto all'Impresa e al Progettista una nota relativa alle carenze evidenziate. Le due note sono riportate in allegato alla presente relazione.

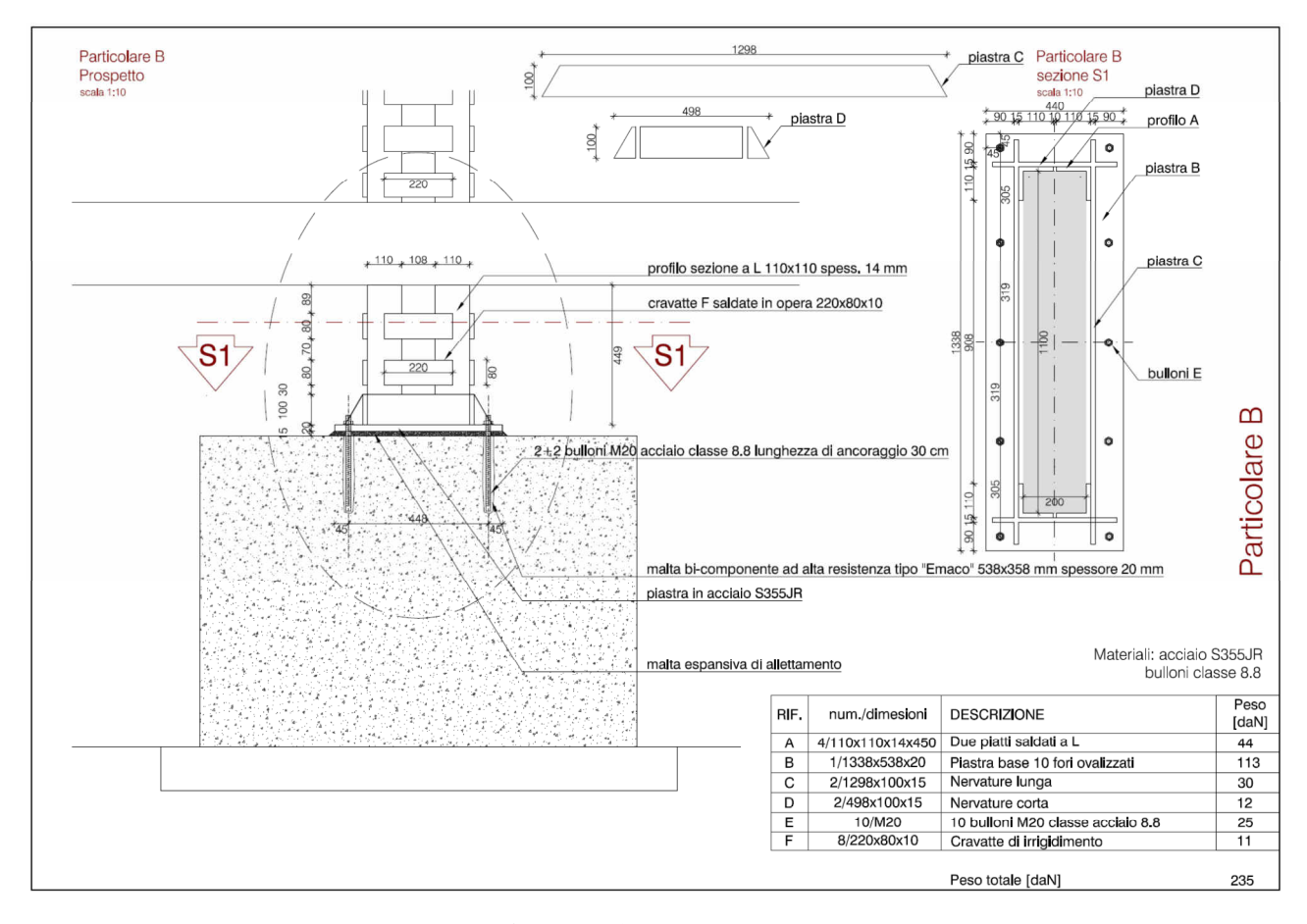
Nel seguito si trarranno le opportune considerazioni relativamente ad ogni singolo punto precedentemente riportato, mentre le considerazioni sulle note di Progettista ed Impresa saranno trattate nei paragrafi successivi.

- **Punto A**. Relativamente al tipo di acciaio da cemento armato FeB44k si è già detto nella relazione 163\_R\_001 e si concorda sostanzialmente con l'Impresa. Per quanto riguarda la presenza di cappa collaborante, la stessa è generalmente sempre presente e, come sottolineato dal Progettista, la risposta del solaio alla prova di carico è stata positiva, aspetto che fa pensare alla effettiva presenza della cappa. In ogni caso la sua effettiva presenza può essere facilmente verificata; ovviamente l'assenza di tale cappa collaborante andrebbe ad inficiare i risultati delle analisi in modo determinante.
- **Punto B.** Si concorda con l'incongruenza evidenziata: l'indagine sperimentale individua staffe di diametro 6mm, mentre nel calcolo sono utilizzate staffe di diametro 8mm. Ovviamente la problematica interagisce con quella di cui al punto precedente, e quindi l'effettiva resistenza a taglio potrà essere valutata solo una volta nota la resistenza dell'acciaio.
- **Punto** C. La presenza di sfondellamenti superiori a quelli attesi non poteva facilmente essere individuata in fase progettuale, quindi dovranno essere prese le necessarie misure man mano che si procederà con le demolizioni degli elementi non strutturali e si prenderà contezza dell'estensione del fenomeno.
- **Punto D**. Sul punto sia le considerazioni dell'Impresa sia soprattutto la risposta del Progettista appaiono piuttosto vaghe. Lo scrivente non ha gli elementi per rispondere nel merito e un giudizio definitivo sulla riserva potrà essere dato solo con un confronto con il Progettista e l'Impresa. Si ritiene in generale che questo sia un aspetto secondario di tutta la progettazione.
- **Punto E**. Relativamente alla connessione rigida del vano ascensore con il resto della struttura si è già detto nella relazione 163\_R\_001, e si concorda con la necessità di approfondimento delle

163\_R\_002\_A.docx Pag. 4 di 12

indagini. Come già evidenziato se venisse dimostrata la non connessione rigida fra il vano scale ed il resto della struttura, le ipotesi a base del progetto di adeguamento sarebbero errate e lo stesso dovrebbe essere sicuramente rivisto.

**Punto F**. Si fa qui riferimento al collegamento al plinto del rinforzo delle colonne (vedi **Figura 2.1** relativa al particolare B). In effetti la realizzazione dei fori sul plinto per il collegamento della piastra risulta difficoltoso con spessori disponibili di 30-40 cm quali individuati dall'Impresa (e peraltro in linea con quanto indicato in progetto, pari a 45 cm). La soluzione indicata dal Progettista (ovvero di procedere dall'estradosso del primo solaio) non appare percorribile sia a causa degli inevitabili errori di realizzazione dei fori che dovrebbero essere compensati da tolleranze nella piastra, sia a causa del possibile taglio di barre di armatura esistenti del solaio durante la realizzazione dei fori.



**Figura 2.1** – *Particolare B* 

- **Punto G.** Relativamente a tale punto si è già riferito nella relazione 163\_R\_001.

163 R 002 A.docx Pag. 5 di 12

#### 3. NOTA DI CALCOLO DEL PROGETTISTA

Di seguito si farà riferimento alla "Verifica puntuale degli elementi strutturali" emessa dal Progettista nel Novembre del 2017 e riportata nell'Allegato 1.

La verifica prende inizialmente in considerazione la struttura, o meglio l'elemento strutturale più sollecitato (trave 17-18) nel suo stato di fatto. Si sottolinea preliminarmente che negli elaborati progettuali non è stato ritrovato il tabulato di calcolo della struttura nello stato di fatto, ma solo nello stato di progetto. La verifica della trave 17-18 è effettuata considerando le resistenze dei materiali definite in progetto, ovvero Rck = 30 MPa per il calcestruzzo e acciaio tipo FeB44K (sulla validità di quest'ultima ipotesi si è già detto in precedenza). Il risultato della verifica è che la trave non è soddisfatta sia a flessione che a taglio. A parte delle piccole inesattezze (ad esempio nella definizione dell'altezza utile della sezione non si considera né il diametro della staffa né la metà del diametro dell'armatura) i risultati risultano fondamentalmente corretti.

La verifica prosegue con la valutazione della resistenza della sezione rinforzata dove, sulla base del tipo di rinforzo adottato, viene incrementata l'armatura compressa (la sezione analizzata è infatti quella in corrispondenza del pilastro, e quindi soggetta, in combinazione statica, a momento negativo, ed il rinforzo prevede un incremento dell'armatura inferiore). Si premette innanzitutto che nel progetto non è presente il particolare del rinforzo della trave in spessore in corrispondenza del nodo; l'unico elaborato grafico disponibile è quello riportato in **Figura 3.1**. Non è quindi chiaro come il Progettista pensa di dare continuità al rinforzo in corrispondenza del nodo. In ogni caso, l'incremento di armatura compressa può solo migliorare la duttilità della sezione, ma non ne può incrementare la resistenza. I risultati della verifica puntuale riportati dal Progettista vanno invece in tutt'altra direzione: è infatti indicato che la sezione lavora in campo 4 (**Figura 3.2**), e quindi con ridotta duttilità. Entrando nel merito del calcolo, pur con le incertezze legate al fatto che non è visibile nel testo a disposizione il momento resistente (cella evidenziata in **Figura 3.2**) pare che nel calcolo l'armatura integrativa sia stata considerata come tesa (e quindi applicata al lembo superiore) e non come compressa (come effettivamente è).

Nella verifica a taglio della trave rinforzata (pag. 10 della nota del Progettista), le considerazioni fatte dal Progettista sono le seguenti: "la resistenza a taglio viene affidata alla sezione della piastra applicata all'intradosso che è continua, nei prossimi calcoli è stata inserita un'area trasversale resistente pari a 3000 mmq (non si tiene conto delle staffe esistenti (il passo è stato comunque stabilito in 20 cm seppur la piastra sia continua)".

Nella frase sopra indicata, e nei calcoli successivi che sono congruenti con essa, è stata fatta confusione fra armatura longitudinale (ovvero la piastra di rinforzo inserita) e l'armatura trasversale (ovvero le staffe); inoltre viene esplicitamente affermato che la piastra di rinforzo è continua, senza che alcuna evidenza di tale fatto possa essere ritrovata nel progetto. Di fatto, l'armatura trasversale

163 R 002 A.docx Pag. 6 di 12

non è stata assolutamente modificata dal rinforzo, che, ha al limite incrementato l'armatura longitudinale compressa; ne consegue che la resistenza a taglio non è stata in alcun modo modificata.

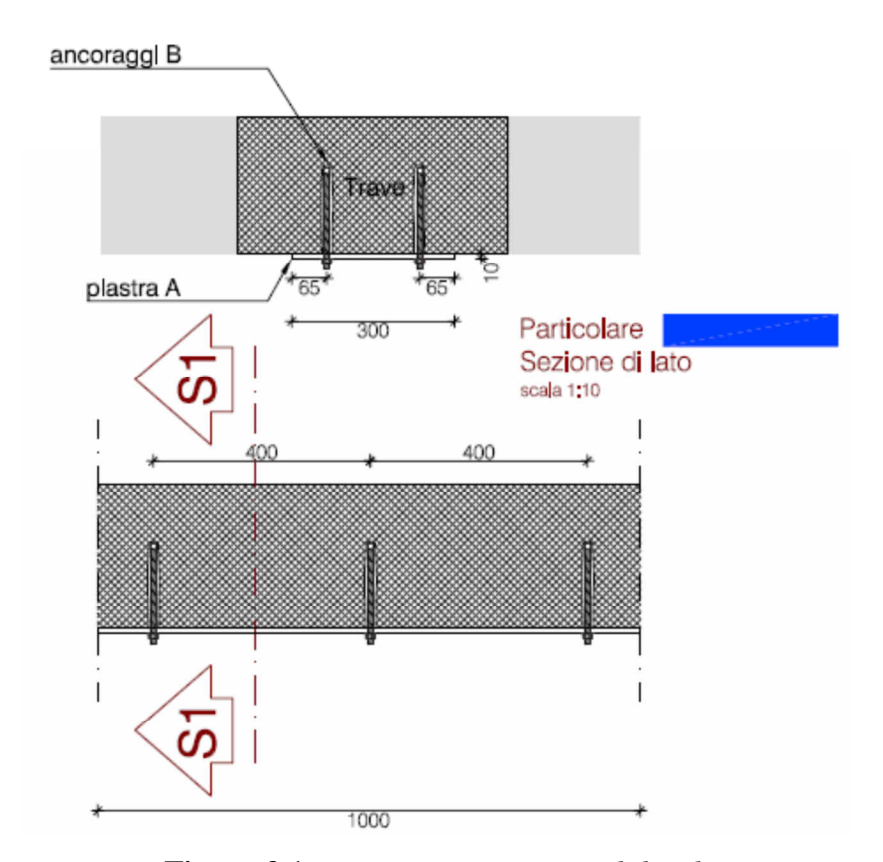
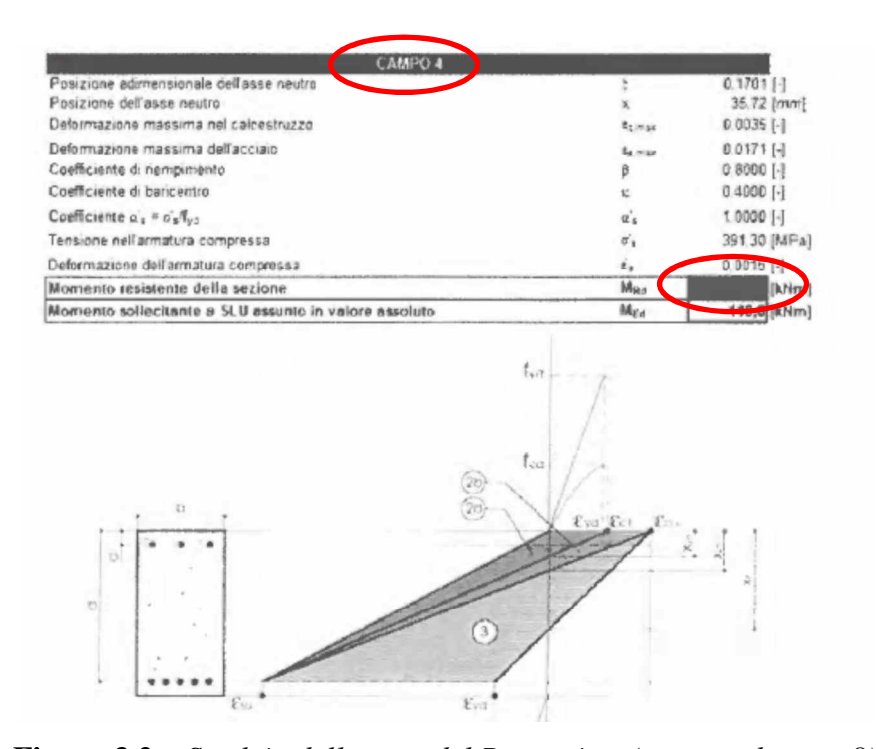


Figura 3.1 – Intervento trave non di bordo



**Figura 3.2** – Stralcio della nota del Progettista (estratto da pag. 8)

163\_R\_002\_A.docx Pag. 7 di 12

#### 4. NOTA DI CALCOLO DELL'IMPRESA

Di seguito si farà riferimento alla nota di calcolo emessa dall'ing. Fumarola per conto dell'Impresa riportata nell'Allegato 2.

Nella nota l'ing. Fumarola premette che farà solo considerazioni sulle verifiche statiche di SLU, non considerando viceversa le combinazioni sismiche. Il calcolo inizia con una analisi dei carichi del solaio, analisi che risulta condivisibile nell'impostazione e nei risultati, e prosegue con un'analisi delle travi nella situazione di progetto.

Per quanto riguarda i materiali, si può verificare che l'armatura ordinaria considerata è del tipo B450, e quindi sicuramente non compatibile con quella effettivamente presente (che comunque dovrà essere oggetto di successive indagini). A parte questa inesattezza, le considerazioni effettuate risultano condivisibili e possono essere riassunte come segue:

- 1. La verifica a taglio non è soddisfatta;
- 2. Nell'ipotesi dell'utilizzo di un'analisi elastica lineare per la valutazione delle sollecitazioni, la verifica a momento negativo non è soddisfatta. Va evidenziato che, nella valutazione della resistenza, sono state considerate le sole armature presenti nella trave; ciò è in linea con le considerazioni effettuate dallo scrivente al punto precedente circa l'efficacia della piastra metallica di rinforzo ad intradosso nelle zone in prossimità delle colonne;
- La verifica a momento positivo è soddisfatta grazie al rinforzo previsto in progetto (i dubbi espressi circa il collegamento fra rinforzo e la trave sono corretti da un punto di vista di principio in quanto manca la relativa verifica, ma non destano preoccupazione da un punto di vista sostanziale);
- 4. Nell'ipotesi in cui si proceda con un'analisi elastica lineare con redistribuzione, la verifica a momento negativo è soddisfatta grazie al grande incremento di resistenza nelle zone a momento positivo offerto dalla piastra di rinforzo ad intradosso.

Per quanto riguarda i pilastri l'ing. Fumarola espone perplessità a riguardo del sistema di rinforzo adottato; sul punto si concorda con l'ing. Fumarola, come meglio specificato nel successivo paragrafo.

163 R 002 A.docx Pag. 8 di 12

#### 5. CONSIDERAZIONI GENERALI SUL METODOLOGIA DI RINFORZO

L'analisi del progetto permette di individuare le seguenti metodologie di rinforzo:

- 1. Travi non di bordo: introduzione di una piastra di rinforzo ad intradosso (Figura 3.2);
- 2. Travi di bordo: introduzione di due angolari sul bordo libero e loro collegamento con calastrelli (**Figura 5.1**)

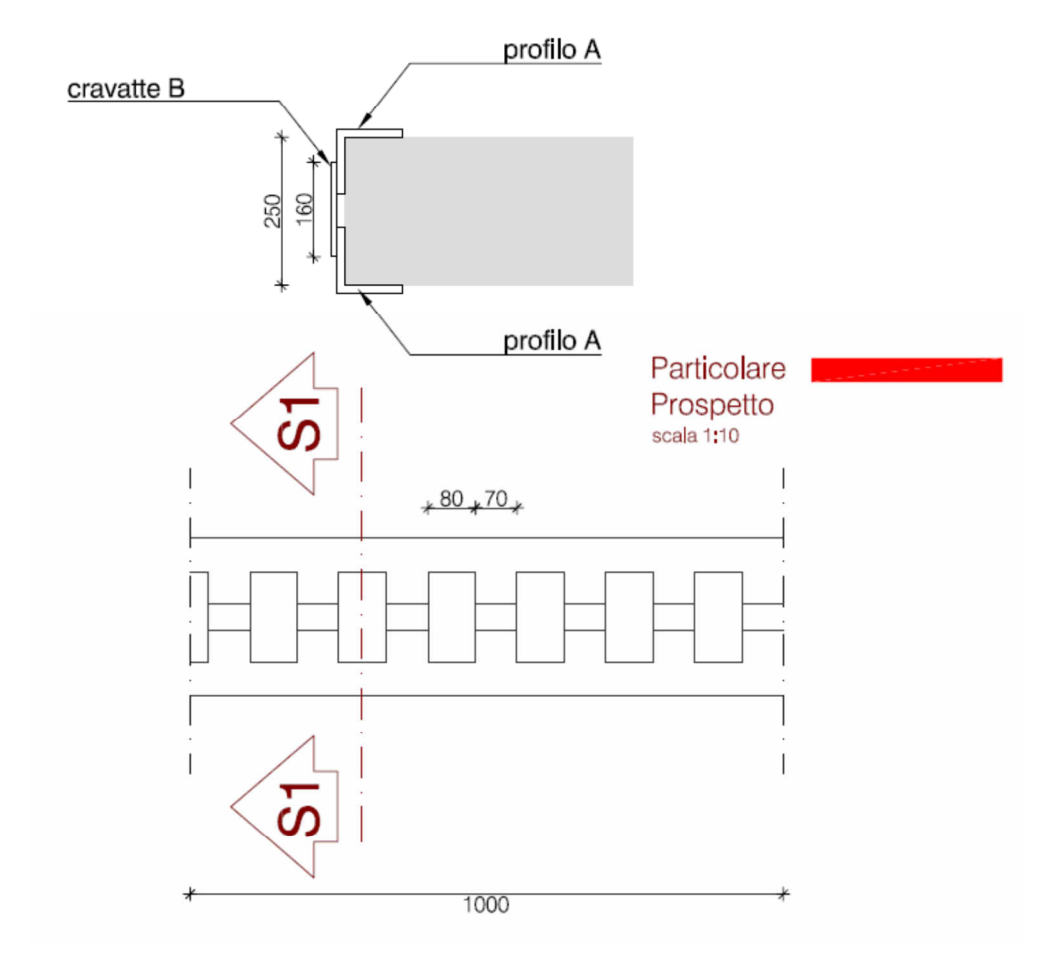


Figura 5.1 – Intervento su travi di bordo

3. Intervento sui pilastri: introduzione di 4 angolari sui bordi liberi e loro collegamento con calastrelli (**Figura 5.2**)

163\_R\_002\_A.docx Pag. 9 di 12

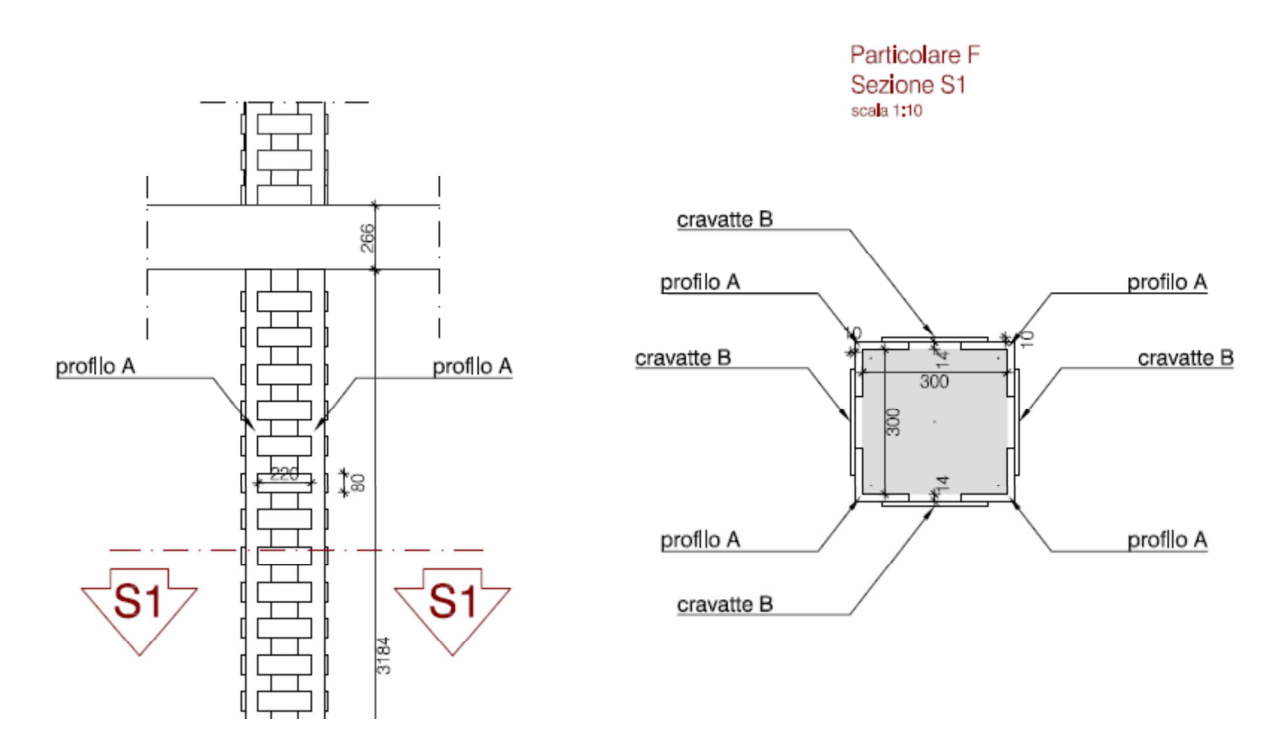


Figura 5.2 – Intervento su pilastri

Le considerazioni generali che possono essere fatte sono le seguenti:

- 1. L'intervento sulle travi non di bordo (sul quale si sono concentrate le note di Progettista ed Impresa) modifica la sola resistenza a flessione per momento positivo, mentre non modifica la resistenza a taglio dell'elemento e la resistenza a flessione per momento negativo (per le sole azioni statiche su cui si può contare su una redistribuzione delle sollecitazioni si può pensare che abbia una qualche influenza così come messo in evidenza dalla nota dell'Impresa, aspetto sul quale comunque il Progettista non è mai entrato nel merito);
- 2. L'intervento sulle travi di bordo ne può modificare la resistenza a taglio e a flessione in quanto risulta continuo sul nodo (in effetti questa continuità è rappresentata unicamente in un render e non nei disegni esecutivi). In ogni caso, vista la asimmetria dell'intervento (che investe solo la parte esterna della trave di bordo), la sua efficacia va puntualmente dimostrata;
- 3. L'intervento sui pilastri è a tutti gli effetti un semplice confinamento del pilastro stesso: non essendo gli angolari continui nel nodo la resistenza delle sezioni terminali non è di fatto modificata.

L'analisi dei Tabulati delle verifiche strutturali effettuato con lo scopo di controllare come la verifica potesse dare esisto positivo ha messo in evidenza che per la maggior parte degli elementi strutturali (travi e pilastri) mancano, ovvero sembrerebbero essere state eliminate, le verifiche in corrispondenza delle sezioni di estremità, ovvero quelle più sollecitate (vedi **Figura 5.3** e **Figura 5.4**). Non risultano inoltre riportate le verifiche dei nodi.

163 R 002 A.docx Pag. 10 di 12

*400	200	No. Colores				vi (CA) - Vei	NO DESCRIPTION OF THE PARTY OF			
Id <sub>Tr</sub>	%Lu	N <sub>Ed,s</sub>	M <sub>Ed,3,s</sub>	N <sub>Ed,i</sub>	M <sub>Ed.3,i</sub>	A <sub>s,s</sub>	A <sub>s,i</sub>	CS <sub>s</sub>	CS <sub>i</sub>	R
Secondo	1 121		i	11		Travata	7			
Trave 10-11						Trave10	-11-12-1	3-14-15-	16-17-18	
Have to 11										
	37,5%			-120.478	41.425	4,52	4,52		5,67	S
	50%	(5)	E .	-74.289	40.183	4,52	4,52	1 S	5,86	S
	62,5%	izar izar	5	-74.901	32.148	4,52	4,52	E E	7,33	S
Trave 11-12										
11dve 11 12										
	50%	40.781	8,492	40.781	5,294	4,52	4,52	4,33	44,75	S
	62,5%	49.474	23.323	49,474	33.419	4,52	4,52	1,61	7,09	S
Trave 12-13										
								111111111111		
	37,5% 50%	-55.247	9.656	-55.247 8.694	32.788 20.900	4,52 4,52	4,52 4,52	2,86	7,19 11,32	S
	62,5%	-39.693	18.547	-39.693	34.645	4,52	4,52	1,57	6,81	S
Trave 13-14										
	25%	-36.721	9.016	-36.721	27.744	4,52	4,52	3,05	5,26	S
	37,5%		12	-23.841 -25.707	48.612	4,52	4,52	E E	3,00 2,55	S
	50% 62,5%	2	- E	-25.707	57.162 47.933	4,52 4,52	4,52 4,52	12	3,05	S
	75%	-31,231	12.000	-31.231	28.488	4,52	4,52	2,33	5,12	Š
T										
Trave 14-15					A MARIE A LINEAR AND A MARIE A			-00-21-012		
	25%	-23.937	13.025	-23.937	27.855	4,52	4,52	2,20	5,24	S
	37,5%	1777	6	-17.266	43.894	4,52	4,52	8	3,33	S
	50%	17/1	8	-17.530	52,699	4,52	4,52	IS.	2,77	S
	75%	-20,711	10.638		27,977	4,52	4,52	2.73	5,21	5
	62,5% 75%	-20.711	10.638	-16,551 -20,711	45,500 27,977	4,52 4.52	4,52 4.52	2.73	3,21 5,22	
			1	-						_

#### LEGENDA:

Identificativo della trave. L'eventuale lettera tra parentesi distingue i diversi tratti della travata al livello considerato.

Posizione della sezione per la quale vengono forniti i valori di verifica, valutata come % della lunghezza libera d'inflessione (L<sub>II</sub>), a partire dall'estremo iniziale.

[SI] = elemento con presenza di rinforzo; [NO] = elemento senza rinforzo. %Lu

NEds Sollecitazioni di progetto per armatura superiore.

MEd.3.s

NEdi Sollecitazioni di progetto per armatura inferiore.

M<sub>Ed.3.i</sub> A<sub>s,s</sub>, A<sub>s,i</sub>

Armatura a flessione superiore e inferiore.

Coefficiente di sicurezza relativo alle sollecitazioni che tendono le fibre superiori e inferiori ([NS] = Non Significativo per valori di CS >= 100; [VNR] = Verifica Non CS<sub>sup</sub>,

Richiesta).

Figura 5.3 – Esempio di elementi con verifiche mancanti nelle sezioni di estremità (estratto dall'elaborato S009\_TOMO1\_Tabulati di verifica allo STATO LIMITE ULTIMO)

Trave 31-30	0%	-16.193	17.863	-16.193	19.791	4,52	4,52	1,65	7,39	SI
	12,5%	-16.193	12.533	-16.193	16.813	4,52	4,52	2,35	8,69	S
	25%	-16.193	7.162	-16.193	12.750	4,52	4,52	4,11	11,46	S
	37,5%	-16.193	2.538	-16.193	7.942	4,52	4,52	11,60	18,40	S
	50%		16	-6.654	2.623	4,52	4,52	1.0	55,79	S
	62,5%	-13.949	5.505	-13.949	5.127	4,52	4,52	5,38	28,52	S
	75%	-13.949	12.713	-13.949	7.351	4,52	4,52	2,33	19,89	S
	87,5%	-13.949	20.668	-13.949	8.830	4,52	4,52	1,43	16,56	S
	100%	-13.949	28.283	-13.949	9.523	4,52	4,52	1,05	15,35	S

Figura 5.4 – Esempio di elementi con verifiche complete (estratto dall'elaborato S009\_TOMO1\_Tabulati di verifica allo STATO LIMITE ULTIMO)

163\_R\_002\_A.docx Pag. 11 di 12

#### 6. CONCLUSIONI

La presente relazione riporta le considerazioni che possono essere effettuate sul progetto dei "Lavori per l'adeguamento strutturale antisismico e la messa a norma antincendio della scuola media in frazione Cretaz del comune di Valtournenche" a seguito della valutazione puntuale della fondatezza delle problematiche evidenziate dall'Impresa appaltatrice e dello studio degli interventi di rinforzo definiti in progetto.

Per quanto riguarda le riserve si concorda con l'impresa sulla necessità di indagini sugli acciai, sulla discrepanza fra diametri delle staffe rilevati e quelli utilizzati nella relazione di calcolo, sulla necessità di verificare l'effettivo collegamento fra vano scala e corpo principale e sulla difficoltà di realizzazione del collegamento fra il rinforzo delle colonne e il plinto di fondazione.

L'analisi degli interventi di rinforzo previsti in progetto ha invece evidenziato che gli interventi proposti di fatto modificano solo marginalmente la risposta dell'edificio in quanto non vengono modificate la resistenza a taglio delle travi non di bordo e la resistenza a flessione delle travi non di bordo in corrispondenza dei nodi e la resistenza a flessione dei pilastri; l'incremento della resistenza a taglio dei pilastri e a flessione delle travi di bordo andrebbe invece dimostrata in modo puntuale, dimostrazione non presente nel progetto.

Si è infine verificato che nei tabulati di calcolo risultano mancanti le verifiche della maggior parte delle sezioni di estremità degli elementi strutturali, nonché le verifiche dei nodi.

Sulla base delle considerazioni sviluppate si raccomanda una rivisitazione completa del progetto dell'intervento di miglioramento sismico dell'edificio in oggetto.

163\_R\_002\_A.docx Pag. 12 di 12

# ALLEGATO 1 NOTA DEL PROGETTISTA DEL NOVEMBRE 2017

Facendo riferimento alla comunicazione formulata dall'impresa Bertini Srl in data 25.09.2017 si trasmette, come richiesto dall'Amministrazione Comunale di Valtournenche, una risposta alle problematiche sollevate:

Esplicitazione in data 16.10.2017 sottoposta alla firma dell'ing. Giuseppe Zinghin i in data .....

#### Riserva n.1

#### Problematiche strutturali (di tipo statico e sismico)

Le prove effettuate sulla struttura, facendo riferimento alle indagini strutturali svolte dalla soc. macroDIAGNOSTICS srl a firma dell'ing. Sandro Pariset, hanno evidenziato quanto di seguito:

- 1. L'organizzazione strutturale generale è conforme al progetto;
- Le caratteristiche del calcestruzzo sono uniformi e buone (resistenza a compressione 33/34.2 N/mmq)

Lo scrivente, nel corso della progettazione definitiva/esecutiva, ha fatto eseguire inoltre alcune prove sui solai esistenti che hanno evidenziato una buona risposta statica sotto carico degli orizzontamenti.

Il Livello di Conoscenza adottato nel calcolo è LC1, che definisce un fattore di confidenza pari a 1,35: ovvero le resistenze sono state sottostimate di un coefficiente pari al 35%. Inoltre il calcolo strutturale tiene conto di una resistenza a compressione Rck=30 N/mmq, inferiore a quella stimata dalle prove effettuate pari a 33/34.2 N/mmq. A tutti gli effetti lo scrivente valuta conseguentemente quanto di seguito:

- La presenza di armature diverse dalla tipologia di acciaio "FeB44K" e da una diversa loro geometria, rispetto a quella considerata nei calcoli, sarebbe compensata da una variazione del fattore di confidenza dovuta all'esecuzione di maggiori indagini conoscitive (LC2/LC3);
- La trave di bordo (si presuppone quella della copertura lato ingresso) è stata modellata facendo riferimento ad una trave CFC: essa consente di rappresentare, nel disegno, qualsiasi elemento fuori calcolo e/o di ottenere la corretta modellazione di alcune strutture particolari. La trave cfc è un elemento che, pur presentando delle analogie, per quanto riguarda le modalità di disegno, con l'oggetto trave, si differenzia notevolmente da quest'ultimo essa, infatti, NON è un elemento strutturale e, quindi, NON è oggetto di calcolo e non viene armato automaticamente dal programma. L'armatura di una Travetta cfc, pertanto, non deve essere specificata dal tecnico.
- Le indagini preliminari hanno evidenziato la presenza di fenomeni fessurativi di sfondellamento ai quali si è posto rimedio con la posa di reti anti-sfondellamento: eventuali aggravi dovuti alle demolizioni da eseguire dovranno essere valutati durante la realizzazione delle opere.
- La mancata connessione rigida del vano ascensore con il fabbricato potrà essere accertata solo durante le lavorazioni: di certo non esiste un giunto sismico. A parere dello scrivente queste incertezze rientrano all'interno dell'ipotesi LC1, quindi sono state compensate dalla conseguente riduzione delle resistenze in fase di verifica.
- L'inserimento dei connettori per ancorare le piastre al plinto potrà essere effettuato forando i plinti a partire dall'estradosso del primo solaio.

- La presenza di passaggi impiantistici non poteva essere valutata in fase di progettazione <u>poiché non</u> esistono i corrispondenti elaborati progettuali.
- In merito ad un'eventuale indagine penetrometrica lo scrivente valuta, coerentemente a quanto dichiarato dal geologo che si è occupato delle prove MASW, che la presenza di depositi caotici glaciali, uniti a probabili trovanti rocciosi, produrrebbe risultati fasulli poiché la punta andrebbe "a rifiuto" non a causa del raggiungimento di un terreno adeguatamente consolidato ma, al contrario, per il raggiungimento casuale di una roccia. Per tale ragione, a parere dello scrivente, ai fini del calcolo di verifica di eventuali cedimenti differenziali, non risulta interessante l'esecuzione di un'indagine penetrometrica.

#### Problematiche percorsi impiantistici

Come evidenziato in precedenza, durante la progettazione, non è stato possibile effettuare indagini allo scopo di verificare la presenza di cavidotti e di passaggi delle linee impiantistiche <u>poiché non esistono i corrispondenti elaborati progettuali</u>. Se ulteriori indagini ed approfondimenti segnalassero motivi ostativi alla fattibilità dell'opera e, comunque, alla relativa esecuzione in condizioni di sicurezza, non si esclude la possibilità di individuare soluzioni progettuali alternative.

#### Riserva n.2

Il de-puntellamento dei ponteggi esistenti è valutato economicamente in "economia". Lo scrivente si rende disponibile alla produzione di un progetto di depuntellamento.

#### Riserva n.3

Il sottoscritto si rende disponibile alla produzione di una documentazione di variazione dei prezzi, da concordare con la DL, per una corretta valutazione economica delle opere segnalate.

#### Région Autonome Vallée d'Aoste Regione Autonoma Valle d'Aosta

#### Comune di Valtournenche



Lavori per l'adeguamento strutturale antisismico e la messa a norma antincendio della scuola media in frazione Cretaz del comune di Valtournenche

#### Progetto definitivo/esecutivo

## **RE VER**

Verifica puntuale degli elementi strutturali

Novembre 2017

Aggiornamento data

Codice Progetto

- vlt2 -

Variante n.

data

Visto Qualità

data

Tecnico incaricato

giuseppe zinghinì ingegnere Committente

Amministrazione Comunale di Valtournenche

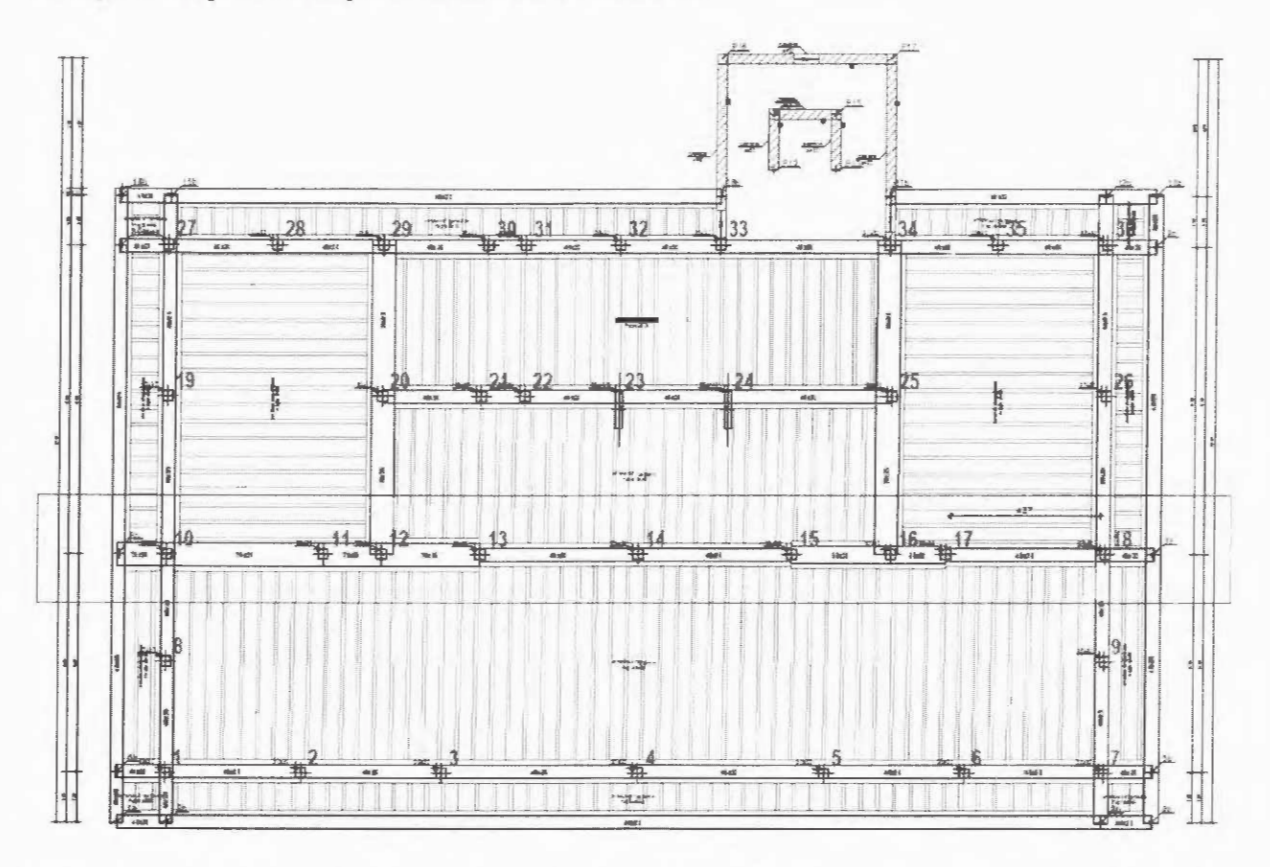


gusep calzingtin in ingegnere studio in for Timba of 4 – 11040 Groman (AC) mobilis45,7507757

#### Adeguamento strutturale Scuole Valtournenche

Relazione riferita alla verifica della trave maggiormente sollecitata.

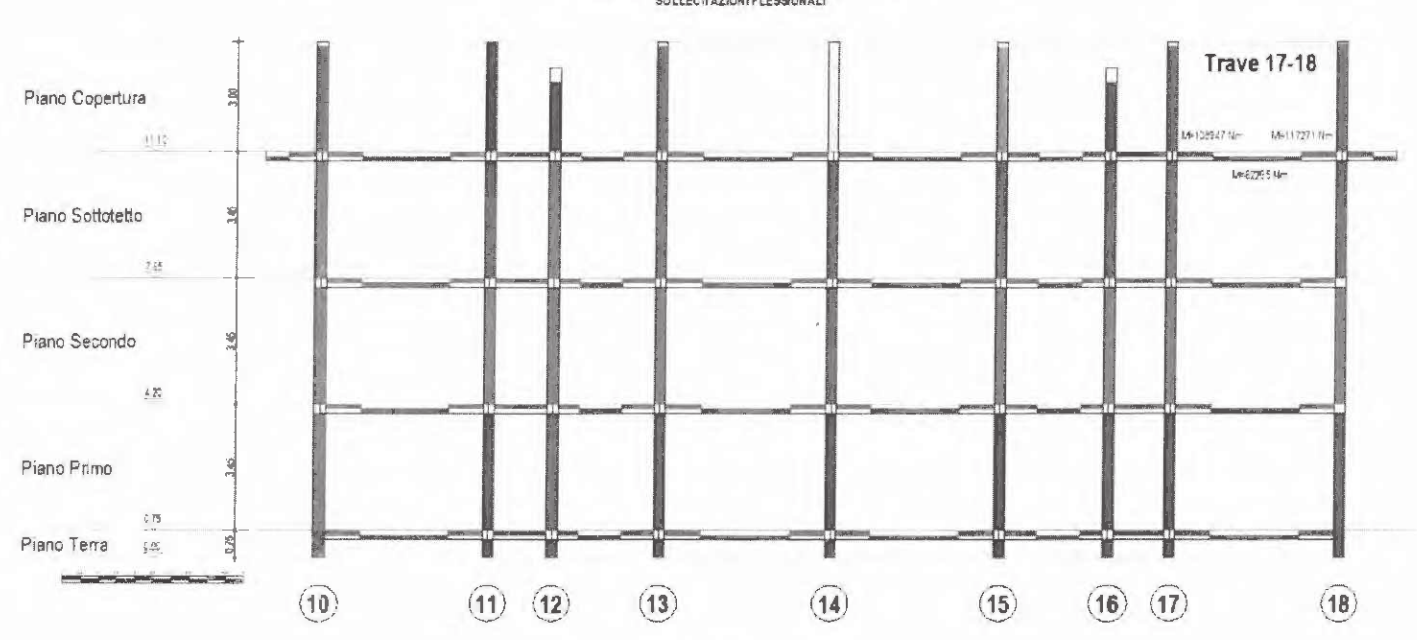
Di seguito si riporta la carpenteria del livello sottotetto:



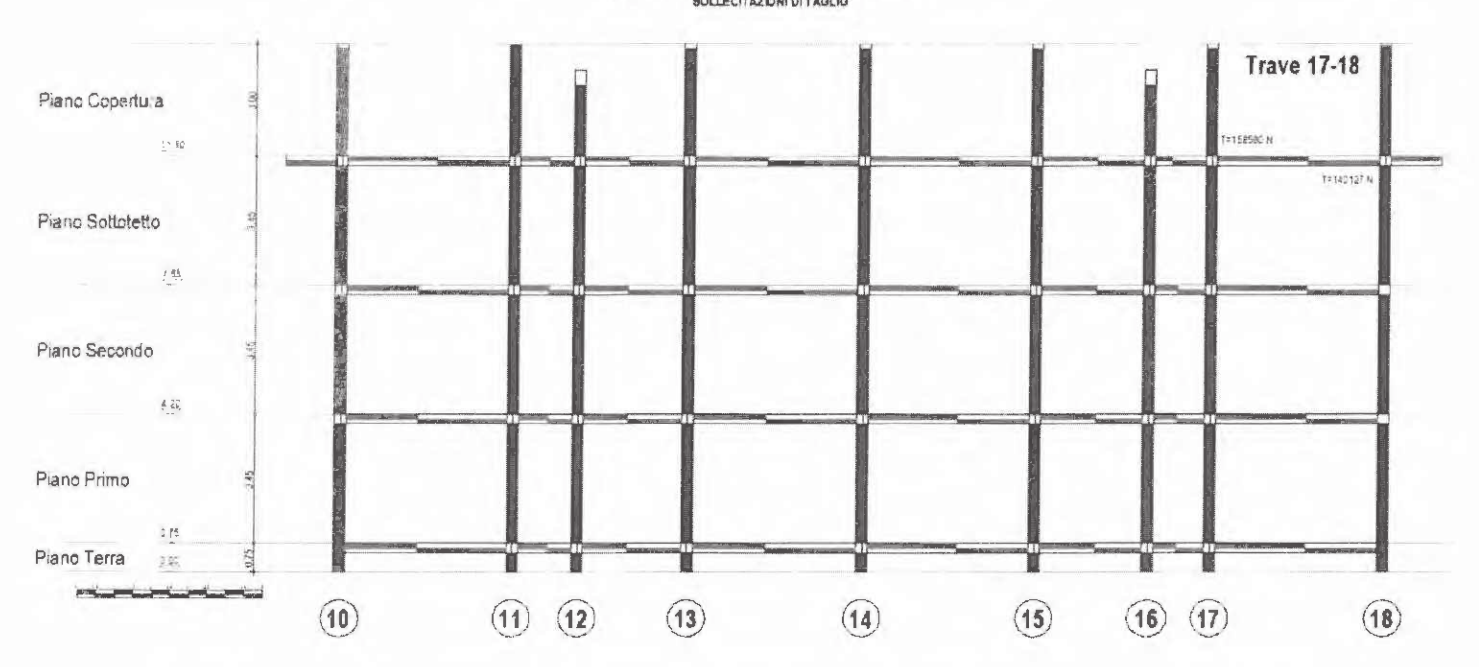
La trave che presenta le sollecitazioni maggiori è la 17-18, di seguito si riportano le sollecitazioni di momento flettente e taglio massimo combinate allo SLU per il suddetto elemento strutturale:

Gruseppe Zinghini ingegnere loc. Tzambarlet. 4 Gressan (AO) Adeguamento strutturale antisismico e la messa a norma antincendio della scuola media in fraz. Cretaz del comune di Valtoumenche. Verifica puntuale degli elementi strutturali



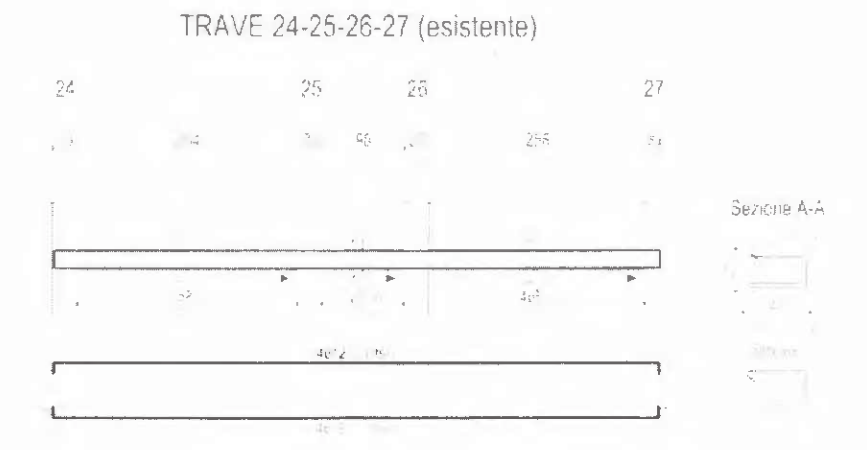


#### Telaio 10-11-12-13-14-15-16-17-18



La trave esistente in esame presenta un'armatura, così come specificato negli elaborati progettuali, equivalente a 4+4 diam. 12 correnti inff. e supp. e staffe diam. 8/20 cm, come nello schema esposto di seguito:

Giasoppe Zinghini ingegnere loc. Tzambarlet, 4 Gressan (AO) Adeguamento strutturale antisismico e la messa a norma antincendio della scuola media in fraz. Cretaz del comune di Valtournenche. Verifica puntuale degli elementi strutturali



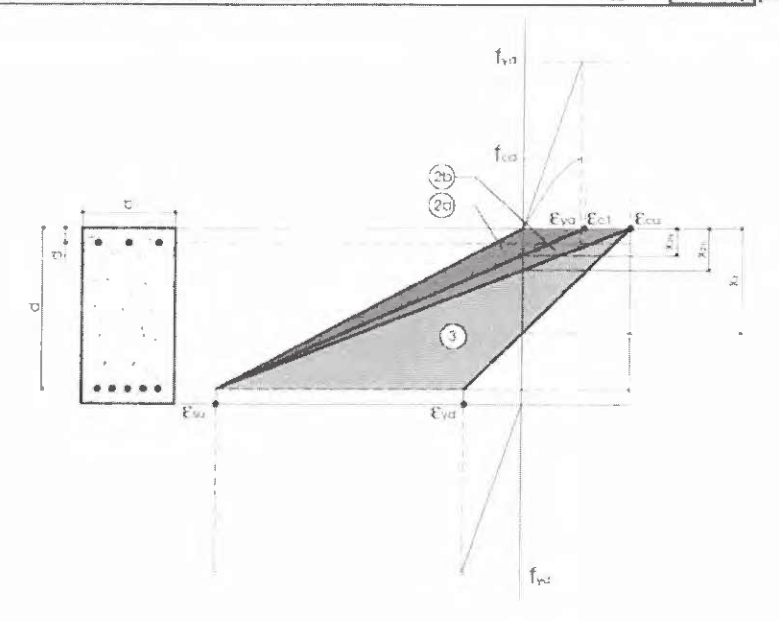
La sezione della trave 17-18, appartenente al solaio sottotetto è pari a 40 x 23 cm, come specificato nella progettazione strutturale il cls presenta una resistenza caratteristica Rck = 30 N/mmq e per l'acciaio d'armatura classe FeB44K.

#### Verifica della trave 17-18 allo stato di fatto: verifica a flessione

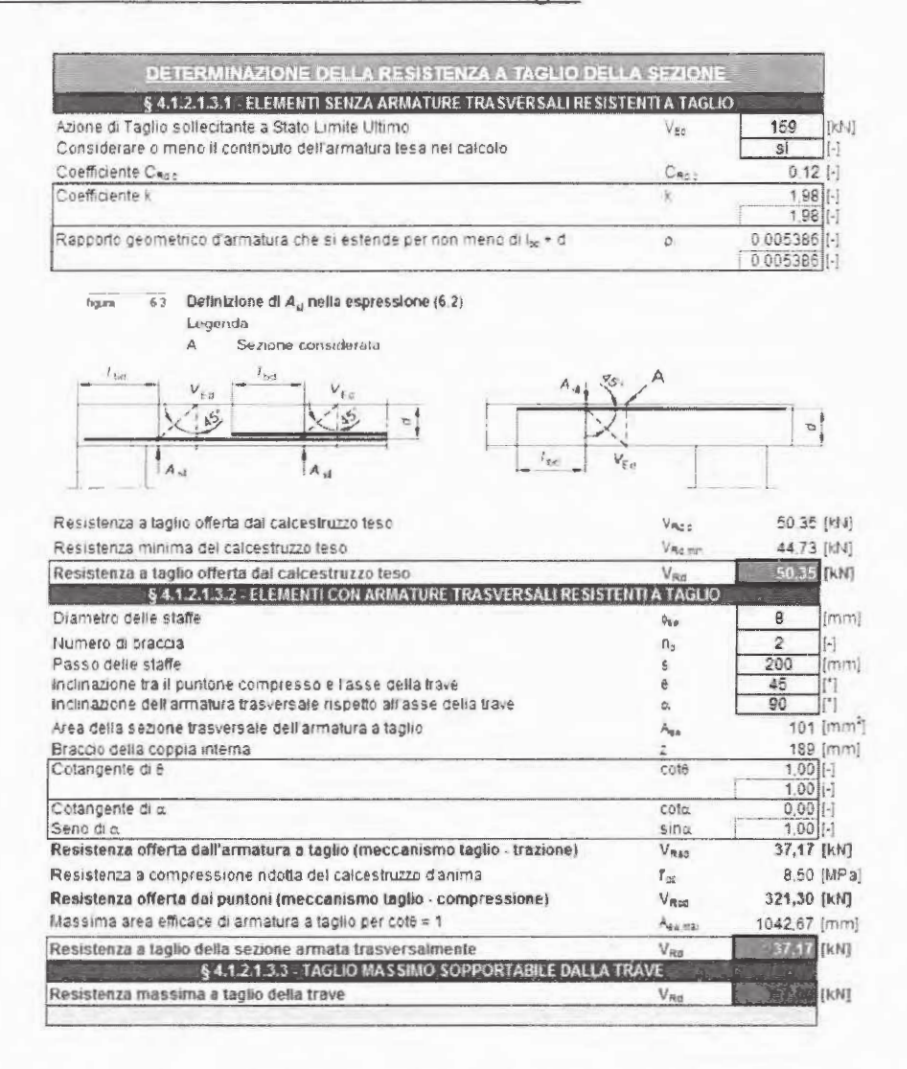
	RIA	
SEZIONE TRA SVERSALE		
Altezza della sezione trasversale di calcestruzzo	h	230 [
Larghezza della sezione trasversale di calcestruzzo	b	400 [
Copriferro	ď	20 [
Altezza utile della sezione	d	210 [
ARMATURA TESA		
hametro dei fern correnti	#:	12 [
lumero dei ferri correnti	nı	4
Diametro dei fern di eventuale infittimento	P2	0 [
lumero dei fern di eventuale infittimento	n <sub>2</sub>	-10
vea dell'armatura tesa ARMATURA COMPRESSA	A <sub>4</sub>	452 [1
ARMATURA COMPRESSA	<b>6</b> i	12 [1
Aimero dei ferri correnti	n's	4 [-
Nametro dei fem di eventuale infittimento	fiz	0 [1
lumero dei fem di eventuale infittimento	n'2	0 -
somero der letti di esestidale liniciationico	11.2	2*
Area dell'armatura compressa	A's	452 [r
DETERMINAZIONE DEL MOMENTO RE		452 [r
DETERMINAZIONE DEL MOMENTO RE Determinazione della percentuale meccanica di armatura tesa	SISTENTE C,	
DETERMINAZIONE DEL MOMENTO RE- Determinazione della percentuale meccanica di armatura tesa Rapporto tra copriferro e altezza utile	SISTENTE C. 8	[:
DETERMINAZIONE DEL MOMENTO RE  Determinazione della percentuale meccanica di armatura tesa  Rapporto tra copriferro e affezza utile  Rapporto tra armatura compressa e armatura tesa	SISTENTE C <sub>a</sub> 8 p	[*
DETERMINAZIONE DEL MOMENTO RE  Determinazione della percentuale meccanica di armatura tesa Rapporto tra copriferro e aftezza utile Rapporto tra armatura compressa e armatura tesa Posizione adimensionale dell'asse neutro per il Campo 2a	SISTENTE  Co.  6  p  12a	[•
DETERMINAZIONE DEL MOMENTO RE Determinazione della percentuale meccanica di armatura tesa Rapporto tra copriferro e altrezza utile Rapporto tra armatura compressa e armatura tesa Posizione adimensionale dell'asse neutro per il Campo 2a Posizione adimensionale dell'asse neutro per il Campo 2b	SISTENTE  Co  6  P  12a	[- [-
DETERMINAZIONE DEL MOMENTO RE Determinazione della percentuale meccanica di armatura tesa Rapporto tra copriferro e altezza utile Rapporto tra armatura compressa e armatura tesa Posizione adimensionale dell'asse neutro per il Campo 2a Posizione adimensionale dell'asse neutro per il Campo 2b Posizione adimensionale dell'asse neutro per il Campo 3	SISTENTE  Co. 6 P Co. 52a 52a 53	[- - - - - - - - - - - - - - - - - - -
DETERMINAZIONE DEL MOMENTO RE Determinazione della percentuale meccanica di armatura tesa Rapporto tra copriferro e altezza utile Rapporto tra armatura compressa e armatura tesa Posizione adimensionale dell'asse neutro per il Campo 2a Posizione adimensionale dell'asse neutro per il Campo 2b Posizione adimensionale dell'asse neutro per il Campo 3 Coefficiente di nempimento per il Campo 2a	SISTENTE  Co. 6 P Co. 52a 52a 53 62a	[-  -  -  -  -  -  -
DETERMINAZIONE DEL MOMENTO RE Determinazione della percentuale meccanica di armatura tesa Rapporto tra copriferro e altezza utile Rapporto tra armatura compressa e armatura tesa Posizione adimensionale dell'asse neutro per il Campo 2a Posizione adimensionale dell'asse neutro per il Campo 2b Posizione adimensionale dell'asse neutro per il Campo 3 Roefficiente di nempimento per il Campo 2a Roefficiente di nempimento per il Campo 2b	SISTENTE  Co.  6  P  Co.  2a  2a  75  Bos  Bos	F F F F F F F F F F F F F F F F F F F
DETERMINAZIONE DEL MOMENTO RE determinazione della percentuale meccanica di armatura tesa tapporto tra copriferro e altezza utule tapporto tra armatura compressa e armatura tesa dissizione adimensionale dell'asse neutro per il Campo 2a dissizione adimensionale dell'asse neutro per il Campo 2b dissizione adimensionale dell'asse neutro per il Campo 3 deficiente di nempimento per il Campo 2a deficiente di nempimento per il Campo 2b deficiente di nempimento per il Campo 2b deficiente di nempimento per il Campo 2b	SISTENTE  Co.  6  P  Co.  2a  2a  75  Box  Box  Co.  Co.  Co.	F   F   F   F   F   F   F   F
DETERMINAZIONE DEL MOMENTO RE determinazione della percentuale meccanica di armatura tesa tapporto tra copriferro e altezza utule tapporto tra armatura compressa e armatura tesa diosizione adimensionale dell'asse neutro per il Campo 2a dosizione adimensionale dell'asse neutro per il Campo 2b dosizione adimensionale dell'asse neutro per il Campo 3 dosificiente di nempimento per il Campo 2a dosificiente di nempimento per il Campo 2b dosificiente di geni Campo 2a	SISTENTE  Co.  S  P  So  So  So  So  So  So  So  So	F   F   F   F   F   F   F   F
DETERMINAZIONE DEL MOMENTO RE Determinazione della percentuale meccanica di armatura tesa Rapporto tra copriferio e altezza utile Rapporto tra armatura compressa e armatura tesa Posizione adimensionale dell'asse neutro per il Campo 2a Posizione adimensionale dell'asse neutro per il Campo 2b Posizione adimensionale dell'asse neutro per il Campo 3 Posizione adimensionale dell'asse neutro per il Campo 3 Posificiente di nempimento per il Campo 2a Posificiente di nempimento per il Campo 2b Posificiente di nempimento 2b Posificiente di Campo 3	SISTENTE  Co.  5  P.  12a  2a  25  Azu  Azu  Co.  Co.  Co.  Co.  Co.  Co.  Co.  Co	F   F   F   F   F   F   F   F   F
DETERMINAZIONE DEL MOMENTO RE  Determinazione della percentuale meccanica di armatura tesa Rapporto tra copriferro e altezza utile Rapporto tra armatura compressa e armatura tesa Posizione adimensionale dell'asse neutro per il Campo 2a Posizione adimensionale dell'asse neutro per il Campo 2b Posizione adimensionale dell'asse neutro per il Campo 3  Coefficiente di nempimento per il Campo 2a  Coefficiente di nempimento per il Campo 2b  Coefficiente di nempimento per il Campo 2b  Coefficiente di ger il Campo 2b  Coefficiente o a per il Campo 2b  Coefficiente o a per il Campo 3  Percentuale meccanica d'armatura per il Campo 2a	SISTENTE  Co.  S  P  So  So  So  So  So  So  So  So	F F F F F F F F F F F F F F F F F F F
DETERMINAZIONE DEL MOMENTO RE  Determinazione della percentuale meccanica di armatura tesa Rapporto tra copriferro e altezza utile Rapporto tra armatura compressa e armatura tesa Posizione adimensionale dell'asse neutro per il Campo 2a Posizione adimensionale dell'asse neutro per il Campo 3 Posizione adimensionale dell'asse neutro per il Campo 2  Doefficiente di nempimento per il Campo 2b  Doefficiente di nempimento per il Campo 2b  Doefficiente oi, per il Campo 2b  Percentuale meccanica d'armatura per il Campo 2b  Percentuale meccanica d'armatura per il Campo 2b  Percentuale meccanica d'armatura per il Campo 2b	SISTENTE  Cos 6 P 12a 12c 15 62a 12c 15 62a 12c 16 16 17 16 17 17 18 18 18 18 18 18 18 18 18 18 18 18 18	E E E E E E E E E E E E E E E E E E E
DETERMINAZIONE DEL MOMENTO RE  Determinazione della percentuale meccanica di armatura tesa Rapporto tra copriferro e altezza utile Rapporto tra armatura compressa e armatura tesa Posizione adimensionale dell'asse neutro per il Campo 2a Posizione adimensionale dell'asse neutro per il Campo 2b Posizione adimensionale dell'asse neutro per il Campo 3  Coefficiente di nempimento per il Campo 2a  Coefficiente di nempimento per il Campo 2b  Coefficiente di nempimento per il Campo 2b  Coefficiente di ger il Campo 2b  Coefficiente o a per il Campo 2b  Coefficiente o a per il Campo 3  Percentuale meccanica d'armatura per il Campo 2a	SISTENTE  Co.  S  P  So  So  So  So  So  So  So  So	F F F F F F F F F F F F F F F F F F F

#### Giuseppe Zinghinì – ingegnere – loc. Tzambarlet, 4 – Gressan (AO) Adeguamento strutturale antisismico e la messa a norma antincendio della scuola media in fraz. Cretaz del comuno di Valtournenche, Verifica puntuale degli elementi strutturali

Armatura simmetric	a ·	
Posizione adimensionale dell'asse neutro	-	[-]
Posizione dell'asse neutro	×	[mm]
Deformazione massima nel calcestruzzo	Bo maa	[-]
Deformazione massima dell'acciaio	2s max	[-]
Coefficiente di nempimento	β	[-]
Coefficiente di baricentro	€	the state of the s
Coefficiente o , = o Mys	D',	[-]
Tensione neil'armatura compressa	G,	[MPa]
Deformazione dell'armatura compressa	z's	[-]
Momento resistente della sezione	Mikd	33.63 [kNm]
Momento sollecitante a SLU assunto in valore assoluto	MES	118,0 [kNm]



#### Verifica della trave 17-18 allo stato di fatto: verifica a taglio

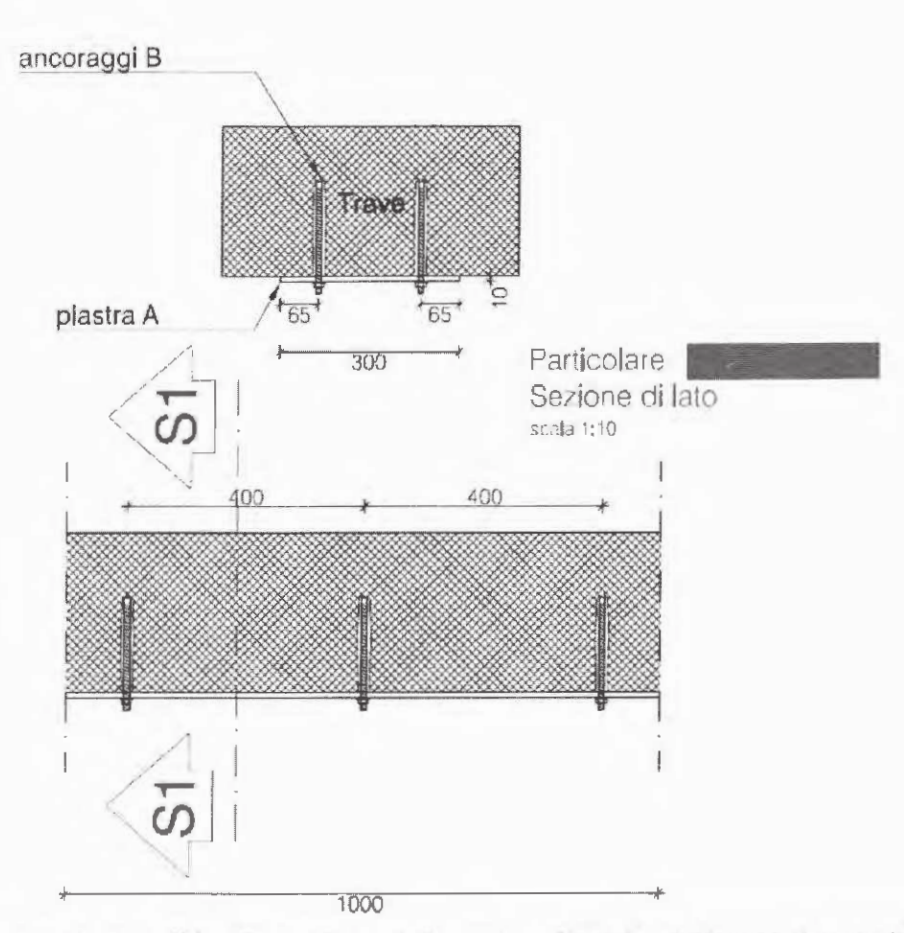


La sezione esistente NON risulta verificata né alle sollecitazioni di momento flettente, né a quelle di taglio.

#### Descrizione dell'intervento strutturale di rinforzo delle travi in spessore

Per le travi in spessore non di bordo il rinforzo avverrà all'intradosso (dopo aver asportato l'intonaco superficiale) tramite posa di piatti saldati tra loro in acciaio S355 larghi 300 mm, spessore 10 mm e elementi connettori come nella figura in basso:

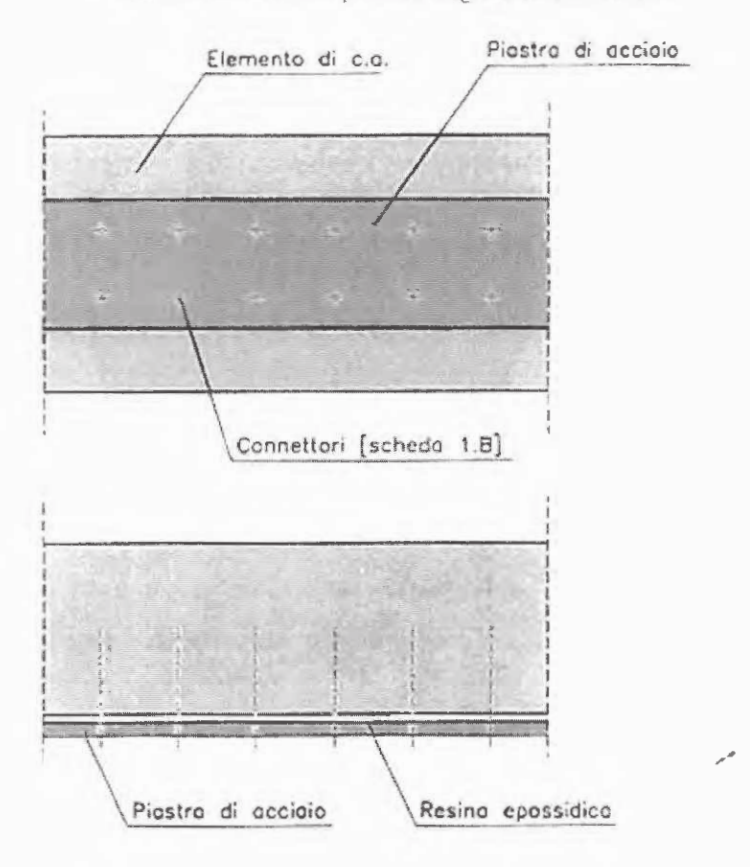




Tutte le travi in spessore non di bordo verranno rinforzate applicando un placcaggio tramite una piastra in acciaio classe S355, ancorata al cls tramite bullonatura come nello schema soprastante. (2 bulloni diam. 20 mm classe 8.8 ogni 30 cm circa)

L'intervento, come specificato nella relazione illustrativa allegata alla progettazione strutturale, è descritto nel seguente grafico:

Giuseppe Zinghini ingegnere loc Ezambarlet, 4 Gressan (AO) Adeguamento strutturale antisismico e la messa a norma antincendio della scuola media in fraz. Cretaz del comune di Valteurnenche, Verifica puntuale degli elementi strutturali



#### FASI ESECUTIVE:

- 1. Demolizione del calcestruzzo donneggiato a degradato.
- 2. Inieziane delle eventuali lesioni presenti.
- 3. Ricostruzione delle parti demolite con molte o betoncino o ritiro compensato.
- 4. Pulitura del supporto mediante sabbiatura e depolverizzazione.
- 5. Regolarizzazione del supporto mediante l'applicazione di stucco epossidico.
- 6. Sobbiotura della lomiero.
- Spalmotura della pasta epossidico sullo superfici da unire (BETON-PLAQUE per incollaggio diretto).
- 8. Fissaggio della lamiero preforata al supporto nella posizione prestabilita.
- Perforazione del supporta in corrispondenzo dei fori della lamiera ad avvenuto incolloggio.
- 10. Collocazione dei connettori.
- 11. Protezione delle lamiere tramite uso di prodatti anticorrosivi.

#### PRECAUZIONI:

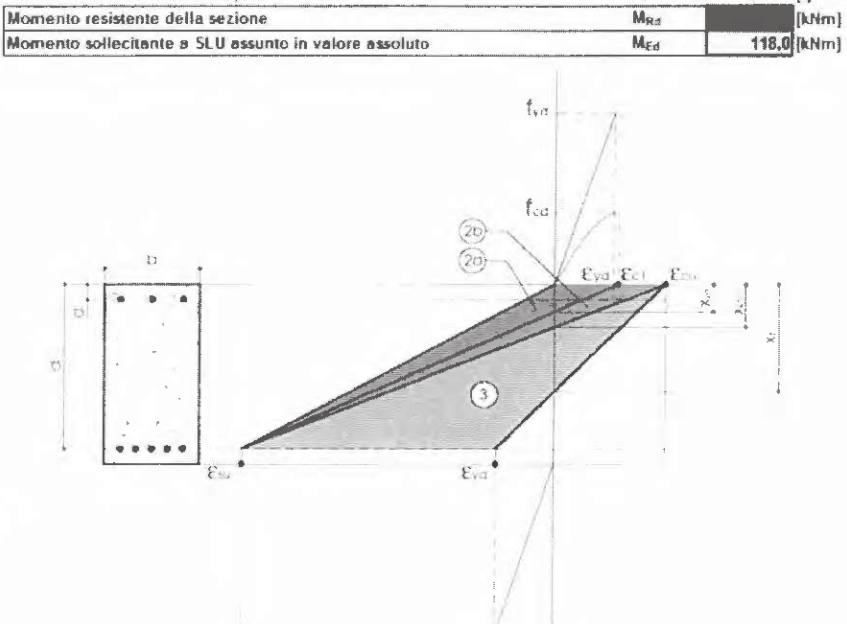
- Il supporto deve essere pulito e regolarizzata prima dell'opplicazione.
- Lo spessore della resina deve essere ridotto (<= 2-3 mm).
- La modalità di posa in opera dei prodotti deve essere conforme a quanto ripartato nelle schede tecniche.

Giuseppe Zinghini ingegnere loc. Lzambarlet. 4 Gressan (AO)

Adeguamento strutturale antisismico e la messa a norma antincendio della scuola media in fraz. Cretaz del comune di Valtournenche. Verifica puntuale degli elementi strutturali

## Verifica della trave 17-18 allo stato di progetto: verifica a flessione (momento negativo max 118 kNm)

DEFINIZIONE DELLA GEOME		
SEZIONE TRASVERSALE		
Altezza della sezione trasversale di calcestruzzo	h	230
Larghezza della sezione trasversale di calcestruzzo	ь	400
Copriferro	ď	20
Altezza utile della sezione	d	210
ARMATURA TESA Diametro dei ferri correnti	b.	12
Numero dei fero correnti	n-	4
Diametro dei ferri di eventuale infittimento	<b>\$</b> -	0
Numero dei ferri di eventuale infittimento	n <sub>2</sub>	0
Area dell'armatura tesa	A	452
ARMATURA COMPRESSA		
Diametro dei ferri correnti	<b>\$</b> 1	20 [
Numero dei ferri correnti	n'ı	10,99
Diametro dei fern di eventuale infittimento	#=	0 [
Numero dei fem di eventuale infittimento	กัฐ	0 [
Area dell'armatura compressa	A.	3453 (
DETERMINAZIONE DEL MOMENTO RI	ESISTENTE	
Determinazione della percentuale meccanica di armatura tesa	₽3	0_1240 [
Rapporto tra copriferro e altezza utile	3	0.0952 [
Rapporto tra armatura compressa e armatura tesa	P	7 6319 [
Posizione adimensionale dell'asse neutro per il Campo 2a	\$2±	0.1667 [
Posizione adimensionale dell'asse neutro per il Campo 2b	žaro.	0.2593 [-
Posizione adimensionale dell'asse neutro per il Campo 3	<b>5</b> 3	0,2160 [
Coefficiente di nempimento per il Campo 2a	β <sub>2a</sub>	0 6667 [-
Coefficiente di nempimento per il Campo 2b	Bae	0,8095 [-
Coefficiente a per il Campo Za	CI BIR	0 4381 [-
Coefficiente a', per il Campo 2b	OL S(D)	1 0000 [-
Coefficiente d's per il Campo 3	OI 2(3)	1,0000 [-
Percentuale meccanica d'armatura per il Campo 2a	G <sub>Za</sub>	0 0474 [-
Percentuale meccanica d'armatura per il Campo 2b	C125	-0 0316 [-
Percentuale meccanica d'armatura per il Campo 3	G3	-0_07B2 [-
	ti'3	-0.0251 [-
CAMPO 4		0.1701
zione adimensionale dell'asse neutro	×	0,1701 [-] 35,72 [m
rmazione massima nel calcestruzzo	A Bo max	0.0035 [-]
mazione massima dell'acciaio	1000000	
mazione massima dell'accialo ficiente di riempimento	E <sub>d.</sub> max	0.0171 [-]
nciente di nempimento ficiente di baricentro	β	0.4000 [-]
	к.	0.4000 [-]
nciente o, = o, f <sub>y3</sub>	a's	1.0000 [-]
ione nell'armatura compressa	σ'1	391.30 [M



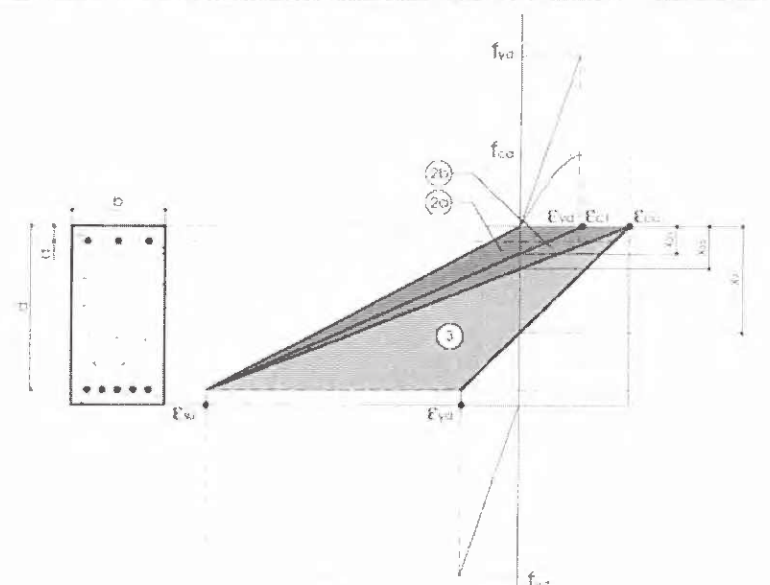
8

Relazione sulla

## <u>Verifica della trave 17-18 allo stato di progetto: verifica a flessione (momento positivo max 63 kNm)</u>

DEFINIZIONE DELLA GEOMET	RIA	
SEZIONE TRASVERSALE		
Altezza della sezione trasversale di calcestruzzo	h	230 [mr
Larghezza della sezione trasversale di calcestruzzo	b	400 [mr
Copriferro	ď	20 [mr
Altezza utile della sezione	d	210 [mr
ARMATURA TESA		
Diametro dei ferri correnti	<b>\$</b> 1	20 [mr
Numero dei ferri correnti	n <sub>1</sub>	10.99 [-]
Diametro dei fem di eventuale infittimento	þ <sub>2</sub>	0 (mr
Numero dei ferri di eventuale infittimento	n <sub>z</sub>	0 [-]
Area dell'armatura tesa	A,	3453 [mn
ARMATURA COMPRESSA	1	
Diametro dei ferri correnti	<b>f</b> <sub>1</sub>	12 [mn
Vumero dei ferri correnti	n's	4 [-]
Diametro dei ferri di eventuale infittimento	63	0 (mn
lumero dei fem di eventuale infittimento	n'a	0 [-]
Area dell'armatura compressa	A's	452 [mn
DETERMINAZIONE DEL MOMENTO RE Determinazione della percentuale meccanica di armatura tesa		0.9461 [-]
Rapporto tra copriferro e afrezza utile	o,	0.0952 [-]
Rapporto tra armatura compressa e armatura tesa	e	0 1310 [-]
Posizione adimensionale dell'asse neutro per il Campo 2a	5	0 1667 [-]
Posizione adimensionale dell'asse neutro per il Campo 2b	-2-	0.2593 [-]
Posizione adimensionale dell'asse neutro per il Campo 3	A.1	0.2160 [-]
cefficiente di riempimento per il Campo 2a	52a	0.6667 [-]
cefficiente di nempimento per il Campo 2b	β <sub>24</sub>	0.8095 [-]
Deficiente a per il Campo 2a	0.93	0.4381 [-]
Coefficiente a per il Campo 2b	Ø set	1,0000 [-]
Coefficiente a per il Campo 3	0'e3	1 0000 [-]
ercentuale meccanica d'armatura per il Campo 2a	-1-	0 1179 [-]
ercentuale meccanica d'armatura per il Campo 25	C12#	0.2415 [-]
ercentuale meccanica d'armatura per il Campo 20	G25	
arcandere meccanica darmarura per il Campo 3	G2	0.5968 (-)
	AC.	H 1917 f.f
CAMPO 4 sizione adimensionale dell'asse neutro		0.7000
sizione adimensionale dell'asse neutro sizione dell'asse neutro	* x	0.7098 [-] 149.07 [m
formazione massima nel calcestruzzo	to max	0.0035 [-]
THE PROPERTY OF THE PROPERTY O	₩Q, MEX	0.0000 [-]

CAMPO 4		X : : "
Posizione adimensionale dell'asse neutro	*	0.7098 [-]
Posizione dell'asse neutro	×	149,07 [mm]
Deformazione massima nel calcestruzzo	<b>a</b> o mak	0.0035 [-]
Deformazione massima dell'acciaio	Eg man	0.0014 [-]
Coefficiente di riempimento	β	0.8000 [-]
Coefficiente di baricentro	K	0.4000 [-]
Coefficiente a's = c'effyo	α' <sub>3</sub>	1,0000 [-]
Tensione nell'armatura compressa	o's	391.30 [MPa
Deformazione dell'armatura compressa	ė <sub>g</sub>	0.0030 [-]
Momento resistente della sezione	M <sub>Rd</sub>	[kNm
Momento sollecitante a SLU assunto in valore assoluto	MEd	63,0 JkNm



#### Verifica della trave 17-18 allo stato di progetto: verifica a taglio

zione di Taglio sollecitante a Stato Limite Ultimo	Vec	159
Considerare o meno il contributo dell'armatura tesa nel calcolo		no
Coefficiente C <sub>Roc</sub>	O <sub>Rd 2</sub>	0,12
Coefficiente k	k	1,98 1,98
Rapporto geometrico d'armatura che si estende per non menò di l <sub>∞</sub> + d	P <sub>1</sub>	0,005386
figura 63 Definizione di A <sub>st</sub> nella espressione (6.2) Legenda		
A Sezione considerata		
A Sezione considerata    Ibd   V <sub>Ed</sub>   V <sub>Ed</sub>   A <sub>d</sub>   V <sub>Ed</sub>	A	

La resistenza al taglio viene affidata alla sezione della piastra applicata all'intradosso che è continua, nei prossimi calcoli è stata inserita un'area trasversale resistente pari a 3000 mmq, (non si tiene conto delle staffe esistenti (il passo è stato comunque stabilito in 20 cm seppur la piastra sia continua)

lassima area efficace di armatura a taglio per coto = 1 lesistenza a taglio della sezione armata trasversalmente	Ves	104,27 (mm) [kN]	Vec = min(Vean; Vec)
lesistenza offerta dai puntoni (meccanismo taglio - compressione)	V <sub>Reco</sub>	321,30 [kN]	$V_{RCO} = z b 1'_{co}(\cot \theta + \cot \alpha) / (1 + \cot \theta^2)$
Resistenza a compressione ridolfa del calcestruzzo d'anima	r <sub>ac</sub>	8.50 [MPa]	
lesistenza offerta dall'armatura a taglio (meccanismo taglio - trazione)	Vesa	11094,30 [kN]	$V_{R63} = (A_{ew}/s) I I_{90} (\cot \theta + \cot \alpha) \sin \alpha$
eno di a	sina.	1,00 [-]	
olangente di o.	cota.	0.00 [-]	
cotangente di 6	cote	1.00[-]	
raccio della coppia Interna	Z	189 [mm]	z = 0,9d
rea della sezione trasversale dell'armatura a taglio	Age	3000 [mm*]	$A_{\rm sw}=n_{\rm b}(\equiv \phi_{\rm op}^2)/4 \ll A_{\rm eq,pha}$
nclinazione dell'armatura trasversale rispetto all'asse della trave	Q.	90 [1]	Generalmente si adotta a = 90°
Passo delle staffe ndinazione tra il puntone compresso e l'asse della trave	5	45 [*1	Generalmente si adotta è = 45°
lumero di oraccia	n <sub>s</sub>	9.55 [-] 20 [mm]	
Diametro delle staffe	OFF	20 [mm]	

Giuseppe Zinghini – ingegnere – loc. Tzambarlet, 4 – Gressan (AO)

Adeguamento strutturale antisismico e la messa a norma antincendio della scuola media in fraz. Cretaz del comune di Valtournenche. Verifica puntuale degli elementi strutturali

#### Verifica locale dei collegamenti tra piastra e trave c.a.

I collegamenti tra la piastra e la trave in c.a. saranno realizzati da 2 barre diam 20 mm poste ad interassi di circa 30 cm, realizzate con acciaio ad alta resistenza classe 8.8.

Le caratteristiche meccaniche dell'acciaio classe 8.8. sono evidenziate di seguito:

Classe	f Nimm?	N/mm²	Musus, I <sup>* #</sup>	N/mm²	Nom2
46	400	240	240	160	113
5 6	500	300	300	200	141
6.6	500	360	360	240	170
6.6	900	640	560	373	264
10.9	1 000	900	700	467	330
d Attentoper	ial minore de cue vi	slorifon = D.T.f. fon	- f, essendo f, ed i	le temponi di romus	s e d snervame

[CNR-UNI 10011]

Poniamo ora che il taglio massimo (scorrimento per i bulloni) nella sezione presso l'appoggio 17 pari a T=15858 daN, venga assorbito solamente dal primo ordine di collegamenti composto da 2 bulloni M20:

Area bulloni = 3,14 cmq x 2 = 6,28 cmqtau adm = 264 N/mmq = 26,4 daN/mmq = 2640 daN/cmq

tau agente = T/Area bulloni = 15858 daN/6,28 cmq = 2525 daN/cmq < tau adm = 2640 daN/cmq si noti che il calcolo risulta di molto a favore di sicurezza poiché:

- 1) si è stabilito che i bulloni resistenti siano solo quelli che compongono il primo ordine, non affidando alcuna sollecitazione agli ordini successivi;
- 2) Il taglio agente è calcolato agli SLU, quindi con insito un moltiplicatore, la resistenza di confronto è al contrario dettata dalla vecchia teoria delle TA, quindi ad essa è stato applicato un divisore (FS=1,5). In pratica è stato applicato un fattore doppio di sicurezza.

Aosta, il 28/11/2017

Il progettista ing. Giuseppe Zinghinì

## ALLEGATO 2 NOTA DELL'IMPRESA DEL 7/12/2017



#### Considerazioni generali strutturali di tipo statico su fabbricato da adibire a scuola in Valtournenche

In merito alle valutazioni complessive strutturali relative al fabbricato in oggetto prima di avviare un'analisi sismica che di fatto porta ad avere elevate sollecitazioni soprattutto alla base dei pilastri, occorre mettere in evidenza una serie di problematiche per le verifiche in combinazione di carico caratteristiche e allo SLU solo per i carichi statici e non dinamici che di fatto fanno propendere per una diverso approccio alle problematiche.

Considerando un peso proprio + carico permanente a mg del solaio misto cls-laterizio pari a:

p = 0.05m x 25kN/mc (peso soletta di 5cm)+ 0.10m x0.20m x 25kN/mc x 2 (peso travetti 20x10cm)+ 1.00 kN/mq (peso pignatte) + 0.10m x 20kN/mc (peso intonaco, massetto, pavimentazione, controsoffitto) + 0.80 kN/mq (peso stimato murature divisorie) = 6.05 kN/mq = 605 kgf/mq

considerando il carico accidentale previsto dalle NTC di 300 kg/mq, il massimo carico agente sul singolo travetto più caricato di 6.20m di lunghezza risulta pari a:

p = (6.05 + 3.00)/2 = 4.5 kN/m

Di seguito si riportano alcune criticità riscontrate:

#### CRITICITÀ:

#### 1) Travi

Facendo un'analisi statica della trave di spina considerata come trave continua su 8 campate per la quale si riporta un armatura di  $4 \oplus 12$  in zona tesa e compressa si ottengono i seguenti risultati.

- Verifica a momento negativo trave non soddisfatta
- Verifica a taglio non soddisfatta
- Verifica a momento positivo soddisfatta (nell'ipotesi di una redistribuzione delle sollecitazioni con cerniera plastica all'appoggio il coefficiente di sicurezza è pari a circa 1, in tal caso si potrebbe non tenere contro del problema a momento negativo)
- Il rinforzo delle travi previsto con piastre metalliche all'intradosso presuppone la realizzazione degli ancoraggi con barre filettate M20 e quindi che ci sia la possibilità di utilizzare trapano con punta da 24mm con uno spazio adeguato al di sotto della trave e non soli 20cm come previsto. Mancherebbe la verifica degli ancoraggi delle piastre a taglio per garantire la trasmissione degli sforzi tipica del funzionamento del cls armato.
- Gli elementi di rinforzo sulle travi di bordo sono realizzati a mezzo di piatti saldati testa testa senza nessuna prescrizione in merito che garantisca l'efficacia del sistema, inoltre non è riportato il fissaggio

Ing. Francesco Fumarola - Corso Rosselli 123/3 – 10129 Torino –C.F.: FMR FNC74D23E986P – P. Iva 08143410010 Sede operativa: Corso Rosselli 123/3 – 10129 - Torino

Tel-Fax.011/3193378 – mob. 333/3499188 - Ordine degli ingegneri di Torino n. 8446 W e-mail:studio.fumarola@gmail.com - posta certificata: francesco.fumarola@ingpec.eu



degli elementi metallici alla trave che mette in dubbio il funzionamento del sistema dovendo affidarsi solo all'attrito superficiale per il trasferimento delle tensioni.

#### VERIFICHE A FLESSIONE TRAVE DI SPINA scuola Valtournenche

Trave di spina – trave continua

Peso proprio + permanenti 6.05 kN/mg

Accidentale 3.0 kN/mg

Massimo momento negativo SLU M=-160 kNm

Massimo momento positivo SLU = 70 kNm

200000	391.00 391.00				4.52 4.52	3.50 21.50		0.01000 -0.00052	391.00 -103.91		176.73 -46.97	-6.1 10.1
					4.52	3.50		0.01000	391.00		176 73	-6
LASTITUTE 1									-		[L(1A]	[KOMIT]
[N/mm <sup>2</sup> ]	[N/mm <sup>2</sup> ]				Icm <sup>2</sup> 1	[cm]		5 000	[N/mm <sup>2</sup> ]		[kN]	[kNm]
Es	fyd				area	livello		s acc	or acc		Nrd(v=0)	Mrd(y=
AND SECURITION OF THE OWNER.		Armatura le	enta	***************************************								
I			25.00		0.00	25.00					-129.77	30
25.00	11.75	40.00		40.00			0.01205	-0.00256	0.00	-9.99	-129.77	30
									-	fravitan 1	[KIA]	[kNm
[N/mm <sup>2</sup> ]						THE PARTY OF THE P	6.00	c sup			- LA	Mrd(y=
Rck	fcd	10,110,000,000,000	h	h sun	v inf	VSUD	e inf	c cup	er inf	a oun	Mad/. = C1	4.4
RUZZO		Trave										
spetto a cui nale interno iterno (rispe nale agente gente di cal ra sforzo no	vengono c (rispetto a etto a y=yso di calcolo colo (rispe ormale age	alcolate le so y=ysoll) oll) (rispetto a y tto a y=ysoll) ente ed intern	=ysoll)	a y=ysoll)		Nro Mro Nso Mso y=ysoll)-Nro	ysoll= f(y=ysoll)= f(y=ysoll)= f(y=ysoll)= f(y=ysoll)= f(y=ysoll)=	12.50 0.00 34.12 0.00 160.00	[cm] [kN] [kNm] [kN] [kNm]			
			U)									
							μ=					
							$\lambda =$		000/HE 00			us dh
Deformazione massima nell'acciaio teso							c acc=			15		[cm]
ne massim	a nel calce	estruzzo					r cls=	-0.00256		in v=	25.00	[cm]
a copriferro	armatura	tesa ed altez	za utile (c/c	1)			δ=	0.163				
							χ=					
e (h-c)							d=				RISOLVI	
armatura te	sa											
		o (x/u)										
rolativa dell		1.1.1										
	relativa dell ale della sez armatura te e (h-c) dell'asse ne a copriferro one massim di deformaz di deformaz nale interno aterno (rispe nale agente gente di cal ra sforzo ne te di sicure  RUZZO  Rck [N/mm²]  25.00	relativa dell'asse neutrale della sezione armatura tesa e (h-c) dell'asse neutro a copriferro armatura one massima nel calce one massima nell'accidi deformazione \( \mu \) (so male interno (rispetto alla basterno (rispetto	relativa dell'asse neutro (x/d) ale della sezione armatura tesa e (h-c) dell'asse neutro a copriferro armatura tesa ed altez one massima nel calcestruzzo one massima nell'acciaio teso di deformazione λ (ε= λ + μ γ) ale interno (rispetto alla base - y= sterno (rispetto alla base - y= sterno (rispetto alla base - y= spetto a cui vengono calcolate le sonale interno (rispetto a y=ysoll) anale agente di calcolo (rispetto a y=ysoll) anale agente di calcolo (rispetto a y=ysoll) ra sforzo normale agente ed interno (rispetto a y=ysoll) ra sforzo normale agente ed in	relativa dell'asse neutro (x/d) ale della sezione armatura tesa e (h-c) dell'asse neutro a copriferro armatura tesa ed altezza utile (c/d) acopriferro armatura tesa ed altezza utile (c/d) one massima nell'acciaio teso di deformazione λ (ε= λ + μ γ) di deformazione μ (ε= λ + μ γ) nale interno (rispetto alla base - y=0) spetto a cui vengono calcolate le sollecitazioni nale interno (rispetto a y=ysoll) anale interno (rispetto a y=ysoll) sterno (rispetto a y=ysoll) nale agente di calcolo (rispetto a y=ysoll) gente di calcolo (rispetto a y=ysoll) ra sforzo normale agente ed interno (rispetto a te di sicurezza di stato limite ultimo  RUZZO Trave Rck fcd b inf h [N/mm²] [N/mm²] [cm] [cm] 25.00 11.75 40.00 25.00	relativa dell'asse neutro (x/d) ale della sezione armatura tesa a (h-c) dell'asse neutro a copriferro armatura tesa ed altezza utile (c/d) one massima nel calcestruzzo one massima nell'acciaio teso di deformazione λ (ε= λ + μ γ) di deformazione μ (ε= λ + μ γ) nale interno (rispetto alla base - y=0) spetto a cui vengono calcolate le sollecitazioni nale interno (rispetto a y=ysoll) anale agente di calcolo (rispetto a y=ysoll) gente di calcolo (rispetto a y=ysoll) ra sforzo normale agente ed interno (rispetto a y=ysoll) se di sicurezza di stato limite ultimo  RUZZO Trave Rck fcd b inf h b sup [N/mm²] [N/mm²] [cm] [cm] 25.00 11.75 40.00 25.00 40.00	relativa dell'asse neutro (x/d) ale della sezione armatura tesa a (h-c) dell'asse neutro a copriferro armatura tesa ed altezza utile (c/d) one massima nel calcestruzzo one massima nell'acciaio teso di deformazione μ (ε= λ + μ γ) di deformazione μ (ε= λ + μ γ) nale interno (rispetto alla base - y=0) spetto a cui vengono calcolate le sollecitazioni nale interno (rispetto a y=ysoll) anale agente di calcolo (rispetto a y=ysoll) gente di calcolo (rispetto a y=ysoll) ra sforzo normale agente ed interno (rispetto a y=ysoll) set di sicurezza di stato limite ultimo  RUZZO  Trave Rck fcd b inf h b sup y.inf [N/mm²] [N/mm²] [cm] [cm] [cm] 25.00 11.75 40.00 25.00 40.00 0.00  Armatura lenta	relativa dell'asse neutro (x/d) ale della sezione armatura tesa a (h-c) dell'asse neutro dell'asse neutro a copriferro armatura tesa ed altezza utile (c/d) one massima nel calcestruzzo one massima nell'acciaio teso di deformazione \(\lambda\cdot\) (\(\ellip = \lambda + \mu\) y) di deformazione \(\ellip (\ellip = \lambda + \mu\)) nale interno (rispetto alla base - y=0) oterno (rispetto a dia base - y=0) oterno (rispetto a y=ysoll) male agente di calcolo (risp	Armatura lenta   Armatura lesa   Armatura lenta   Armatura len	relativa dell'asse neutro (x/d)  ale della sezione armatura tesa  a (h-c)  d= 21.50  dell'asse neutro  ac cpriferro armatura tesa ed altezza utile (c/d)  ac copriferro armatura tesa ed altezza utile (c/d)  ac copriferro armatura tesa ed altezza utile (c/d)  be massima nel calcestruzzo  ac cls= -0.00256  ac cc= 0.01000  di deformazione λ (ε= λ + μ y)  μ= -0.00558  di deformazione μ (ε= λ + μ y)  plicate interno (rispetto alla base - y=0)  Armatura lenta  Armatura lenta  Armatura lenta	relativa dell'asse neutro (x/d)  ale della sezione armatura tesa (a) (h-c) (b) (d= 21.50 [cm] (cm] (cm] (cm] (cm] (cm] (cm] (cm] (	relativa dell'asse neutro (x/d)  ale della sezione  armatura tesa  a (h-c)  a (h-c)  a copriferro armatura tesa ed altezza utile (c/d)  b en emassima nel calcostruzzo  c c cls = -0.00256 in y = 0.00 (cm)  di deformazione λ (c=λ + μ y)  ande interno (rispetto alla base - y=0)  Ard(y=0)=  Alterno (rispetto alla base - y=0)  Ard(y=0)=  At 12, [kNm]  At 12, [kNm]  At 12, [kNm]  And (y=ysoll)=  At 12, [kNm]  As 13, [xNm]  As 14, [xNm]  As 15, [xNm]  As 16, [xNm]  As 17, [xNm]  As 18, [xNm]  As 19, [xNm]  As 19, [xNm]  As 10, [xNm]  Armatura lenta	relativa dell'asse neutro (x/d)  ale della sezione  armatura tesa  a (b-c)  a (b-c)  dell'asse neutro  a copriferro armatura tesa ed altezza utile (c/d)  b e di deformazione (c = \(\lambda + \mu \nu)\)  a copriferro armatura tesa ed altezza utile (c/d)  b e di deformazione (c = \(\lambda + \mu \nu)\)  di deformazione (c = \(\lambda + \mu \nu)\)  a con e massima nell'acciaio teso  c acc= 0.01000  in y= 25.00  in y= 25.00  in y= 25.00  in y= 3.50  Vari(y=0)= 0.00 [kN]  Nrd(y=0)= 0.00 [kN]  Nrd(y=0)= 34.12 [kNm]  Nrd(y=0)= 34.12 [kNm]  Nrd(y=0)= 34.12 [kNm]  Nrd(y=ysoll)= 0.00 [kN]  Attractive (rispetto a y=ysoll)  Nrd(y=ysoll)= 0.00 [kN]  Nrd(y=ysoll)= 0.00 [

Ing. Francesco Furnarola - Corso Rosselli 123/3 – 10129 Torino –C.F.: FMR FNC74D23E986P – P. Iva 08143410010

Sede operativa: Corso Rosselli 123/3 - 10129 - Torino

Tel-Fax.011/3193378 – mob. 333/3499188 - Ordine degli ingegneri di Torino n. 8446 W e-mail:studio.fumarola@gmail.com - posta certificata: francesco.fumarola@ingpec.eu



VERIFICA	A STATO	LIMITE UL	TIMO PER T	ENSIONI N	ORMALI -	TRAVE - m	omento po	ositivo con	piastra - Ipo	otesi trave	continua			
Profondità	relativa dell	'asse neutr	o (x/d)					ξ=	0.754					
	tale della se		. T. C. T. C.					h=	25.00 [cm]					
Copriferro	armatura te	sa						C=	0.02 [cm]					
Altezza uti	ile (h-c)							d=	24.98	A CONTRACTOR OF THE PARTY OF TH		RISOLVI		
	dell'asse ne	eutro						x=	18.85	1 m				
Rapporto	tra copriferro	armatura	tesa ed altez	za utile (c/c	1)			δ=	0.001					
Deformazi	ione massim	a nel calce	struzzo					ε cls=	-0.00350		in y=	25.00	[cm]	
Deformazione massima nell'acciaio teso								E acc=	0.00114		in y=	0.02		
Parametro	Parametro di deformazione $\lambda$ ( $\varepsilon = \lambda + \mu \nu$ )							λ=	0.00114			0.02	form	
Parametro	di deforma:	zione μ (ε=	$= \lambda + \mu y$					u=	-0.00019	[1/cm]				
Sforzo nor	male interno	rispetto a	lla base - v=	0)				Nrd(y=0)=	0.00					
Sforzo normale interno (rispetto alla base - y=0)  Momento interno (rispetto alla base - y=0)								Mrd(y=0)=	142.44					
			alcolate le so	llecitazioni				ysoll=	12.50	[cm]				
	male interno						Nro	d(y=ysoll)=	0.00	[kN]				
	interno (risp						Mrc	d(y=ysoll)=	142.44	[kNm]				
			(rispetto a y					d(y=ysoll)=	0.00					
			tto a y=ysoll)					d(y=ysoll)=	70.00					
			nte ed interr to limite ulti		a y=ysoll)		/=ysoll)-Nrc /soll)/Msd		0.00 <b>2.03</b>	[kN]				
CALCEST	RUZZO		77											
			Trave											
Elementi		fcd	b inf	h	b sup	y inf	y sup	ε inf	ε sup	σ inf	σ sup	Nrd(y=0)	Mrd(y=0)	
	Rck [N/mm <sup>2</sup> ]	fcd [N/mm2]	The second second	h [cm]	b sup [cm]	y inf [cm]	y sup [cm]	ɛ inf	E sup	σ inf [N/mm²]	σ sup [N/mm²]	Nrd(y=0) [kN]	Mrd(y=0) [kNm]	
Elementi 1			b inf [cm]	[cm] 25.00		[cm] 0.00	[cm] 25.00	ε inf	ε sup -0.00350			[kN] -609.53	Mrd(y=0) [kNm]	
Elementi	[N/mm <sup>2</sup> ]	[N/mm2]	b inf [cm]	[cm]	[cm]	[cm]	[cm]			[N/mm <sup>2</sup> ]	[N/mm <sup>2</sup> ]	[kN]	[kNm]	
Elementi 1 totali	[N/mm <sup>2</sup> ]	[N/mm2]	b inf [cm]	[cm] 25.00	[cm]	[cm] 0.00	[cm] 25.00			[N/mm <sup>2</sup> ]	[N/mm <sup>2</sup> ]	[kN] -609.53	[kNm] 104.60	
1 totali	[N/mm <sup>2</sup> ] 25.00	[N/mm2] 11.75	b inf [cm]	[cm] 25.00 25.00	[cm]	[cm] 0.00	[cm] 25.00			[N/mm <sup>2</sup> ]	[N/mm <sup>2</sup> ]	[kN] -609.53	[kNm] 104.60	
Elementi 1 totali	[N/mm²] 25.00	[N/mm2] 11.75	b inf [cm] 40.00	[cm] 25.00 25.00	[cm]	[cm] 0.00	[cm] 25.00			[N/mm <sup>2</sup> ]	[N/mm <sup>2</sup> ]	[kN] -609.53	[kNm] 104.60 104.60	
1 totali  ACCIAIO Armature	[N/mm²] 25.00 Es [N/mm²]	[N/mm2] 11.75 fyd [N/mm <sup>2</sup> ]	b inf [cm] 40.00	[cm] 25.00 25.00	[cm]	[cm] 0.00 0.00	[cm] 25.00 25.00		-0.00350	[N/mm <sup>2</sup> ] 0.00	[N/mm <sup>2</sup> ]	[kN] -609.53 -609.53	[kNm] 104.60	
1 totali  ACCIAIO Armature	[N/mm²] 25.00  Es [N/mm²] 200000	[N/mm2] 11.75 fyd [N/mm²] 391.00	b inf [cm] 40.00	[cm] 25.00 25.00	[cm]	[cm] 0.00 0.00 area [cm²] 34.52	[cm] 25.00 25.00 livello [cm] 0.02		-0.00350	0.00 σ acc [N/mm²] 227.77	[N/mm <sup>2</sup> ]	[kN] -609.53 -609.53 Nrd(y=0)	[kNm] 104.60 104.60 Mrd(y=0)	
1 totali  ACCIAIO Armature	[N/mm²] 25.00 Es [N/mm²]	[N/mm2] 11.75 fyd [N/mm <sup>2</sup> ]	b inf [cm] 40.00	[cm] 25.00 25.00	[cm]	[cm] 0.00 0.00	[cm] 25.00 25.00 livello [cm]		-0.00350 ε acc	(N/mm²) 0.00 0.00 0.00 0.00	[N/mm <sup>2</sup> ]	[kN] -609.53 -609.53 Nrd(y=0) [kN]	[kNm] 104.60 104.60 Mrd(y=0) [kNm]	

Con cerniera plastica sull'appoggio (dal momento che la sezione non è verificata a flessione per momento negativo) si ipotizza che vi sia una redistribuzione del momento ovvero che la sezione d'appoggio lavori al massimo della sua capacità resistente a flessione (circa 31kNm pertanto il massimo momento positivo in campata allo SLU risulterebbe

 $M = (0.25mx25kN/mcx0.40mx1.35+6.05kPax5mx1.35+3.0kPax5mx1.5)x(4.65m)^2/8 = 181 kNm - 31kNm(momento resistente massimo della sezione armata con 4.52cmq) = 150 kNm$ 

 $\label{eq:local_problem} \begin{tabular}{l} Ing. Francesco Fumarola - Corso Rosselli 123/3 - 10129 Torino - C.F.: FMR FNC74D23E986P - P. Iva 08143410010 \\ Sede operativa: Corso Rosselli 123/3 - 10129 - Torino \\ \end{tabular}$ 

Tel-Fax.011/3193378 – mob. 333/3499188 - Ordine degli ingegneri di Torino n. 8446 W e-mail:studio.fumarola@gmail.com - posta certificata: francesco.fumarola@ingpec.eu



VERIFICA	A A STATO	LIMITE UL	TIMO PER T	TENSIONI I	NORMALI -	TRAVE - m	nomento p	ositivo con	piastra - ip	otesi ceerr	niera plasti	ca sull'app	oggio
Profondită	à relativa de	l'asse neut	o (x/d)					ξ=	0.765				
	tale della se					h=			25.00 [cm]				
Copriferro	armatura te	esa						C=	0.00 [cm]				
Altezza ut	ile (h-c)							d=	25.00 [cm]		RISOLVI		
	dell'asse n	eutro						X=	19.11				
Rapporto	tra copriferr	o armatura	tesa ed alte:	zza utile (c/e	d)			δ=	0.000				
Deformaz	ione massin	na nel calce	struzzo					ε cls=	-0.00350		Kaping tim	25.00	
Deformazione massima nell'acciaio teso								E acc=	0.00330		in y=		
Parametro di deformazione $\lambda$ ( $c=\lambda+\mu$ y)								λ=	0.00108		in y=	0.00	[cm]
	di deforma							11=	-0.00018	[1/cm]			
Sforzo nor	rmale intern	o (rispetto a	lla base - v=	0)				Nrd(y=0)=		•			
Sforzo normale interno (rispetto alla base - y=0) Momento interno (rispetto alla base - y=0)								Mrd(y=0)=	0.00 [kN] 146.56 [kNm]				
Ordinata r	ispetto a cui	vengono c	alcolate le so	ollecitazioni				ysoll=	10.50	r			
Ordinata rispetto a cui vengono calcolate le sollecitazioni Sforzo normale interno (rispetto a y=ysoll) Momento interno (rispetto a y=ysoll)							Nr	d(y=ysoll)=	12.50 [cm] 0.00 [kN] 146.56 [kNm]				
								d(y=ysoll)=					
Sforzo normale agente di calcolo (rispetto a v=vsoll)								d(y=ysoll)=	0.00 [kN]				
Momento :	agente di ca	Icolo (rispe	tto a y=ysoll)					d(y=ysoll)=	150.00				
Differenza	tra sforzo n	ormale age	nte ed interr	o (rispetto	a y=vsoll)	Nsd(		d(y=ysoll)=	0.00				
Coefficier	nte di sicure	ezza di stat	o limite ulti	mo		Mrd(y=	ysoll)/Msd	(y=ysoll)=	0.98				
CALCEST	RUZZO	111 111	Trave										
Elementi	Rck	fcd	b inf	h	b sup	y inf	v sup	ε inf	£ SUD	g inf	a sun	Nrd(v=0)	Mrd(v=0)
Elementi	Rck [N/mm <sup>2</sup> ]	fcd [N/mm2]	The state of the s	h [cm]	b sup [cm]	y inf [cm]	y sup [cm]	ε inf	εsup	σ inf [N/mm²]	σ sup [N/mm²]	Nrd(y=0) [kN]	Mrd(y=0) [kNm]
1	-		b inf [cm]	[cm] 25.00				ε inf	ε sup -0.00350		[N/mm <sup>2</sup> ]	[kN]	[kNm]
	[N/mm <sup>2</sup> ]	[N/mm2]	b inf [cm]	[cm]	[cm]	[cm]	[cm]			[N/mm <sup>2</sup> ]		THE RESERVE AND ADDRESS OF THE PARTY OF THE	
1 totali	[N/mm <sup>2</sup> ]	[N/mm2]	b inf [cm]	[cm] 25.00	[cm]	[cm] 0.00	[cm] 25.00			[N/mm <sup>2</sup> ]	[N/mm <sup>2</sup> ]	[kN] -618.12	[kNm] 105.39
1 totali	[N/mm <sup>2</sup> ] 25.00	[N/mm2] 11.75	b inf [cm]	[cm] 25.00 25.00	[cm]	[cm] 0.00	[cm] 25.00			[N/mm <sup>2</sup> ]	[N/mm <sup>2</sup> ]	[kN] -618.12	[kNm] 105.39
1 totali	[N/mm <sup>2</sup> ] 25.00	[N/mm2] 11.75 fyd	b inf [cm] 40.00	[cm] 25.00 25.00	[cm]	[cm] 0.00	[cm] 25.00			[N/mm <sup>2</sup> ]	[N/mm <sup>2</sup> ]	[kN] -618.12 -618.12	[kNm] 105.39 105.39
1 totali ACCIAIO Armature	[N/mm <sup>2</sup> ] 25.00 Es [N/mm <sup>2</sup> ]	[N/mm2] 11.75 fyd [N/mm <sup>c</sup> ]	b inf [cm] 40.00	[cm] 25.00 25.00	[cm]	[cm] 0.00 0.00	[cm] 25.00 25.00		-0.00350	(N/mm²) 0.00 σ acc	[N/mm <sup>2</sup> ]	[kN] -618.12 -618.12 Nrd(y=0)	[kNm] 105.39 105.39 Mrd(y=0)
1 totali ACCIAIO Armature	[N/mm²] 25.00  Es [N/mm²] 200000	[N/mm2] 11.75 fyd [N/mm <sup>4</sup> ] 391.00	b inf [cm] 40.00	[cm] 25.00 25.00	[cm]	[cm] 0.00 0.00 area [cm²] 34.52	[cm] 25.00 25.00 livello [cm] -0.40		-0.00350	[N/mm <sup>2</sup> ] 0.00	[N/mm <sup>2</sup> ]	[kN] -618.12 -618.12	[kNm] 105.39 105.39 Mrd(y=0) [kNm]
1 totali ACCIAIO Armature	[N/mm <sup>2</sup> ] 25.00 Es [N/mm <sup>2</sup> ]	[N/mm2] 11.75 fyd [N/mm <sup>c</sup> ]	b inf [cm] 40.00	[cm] 25.00 25.00	[cm]	[cm] 0.00 0.00	[cm] 25.00 25.00 livello [cm]		-0.00350 ε acc	0.00 σ acc [N/mm <sup>2</sup> ]	[N/mm <sup>2</sup> ]	[kN] -618.12 -618.12 Nrd(y=0) [kN]	[kNm] 105.39 105.39 Mrd(y=0)

#### 2) pilastri

per gli interventi previsti non risulta evidente come si possa garantire la trasmissione degli sforzi tra i pilastri esistenti e il rinforzo metallico a meno che non sia possibile eseguire un serraggio che consenta il trasferimento degli sforzi. Il sistema di rinforzo previsto di fatto non determina un sensibile aumento delle caratteristiche inerziali flessionali, di taglio e torsione dell'intera struttura.

Dott.Ing. Francesco Fumarola

Ing. Francesco Fumarola - Corso Rosselli 123/3 – 10129 Torino –C.F.: FMR FNC74D23E986P – P. Iva 08143410010

Sede operativa: Corso Rosselli 123/3 – 10129 - Torino Tel-Fax.011/3193378 – mob. 333/3499188 - Ordine degli ingegneri di Torino n. 8446 W

e-mail:studio.fumarola@gmail.com - posta certificata: francesco.fumarola@ingpec.eu